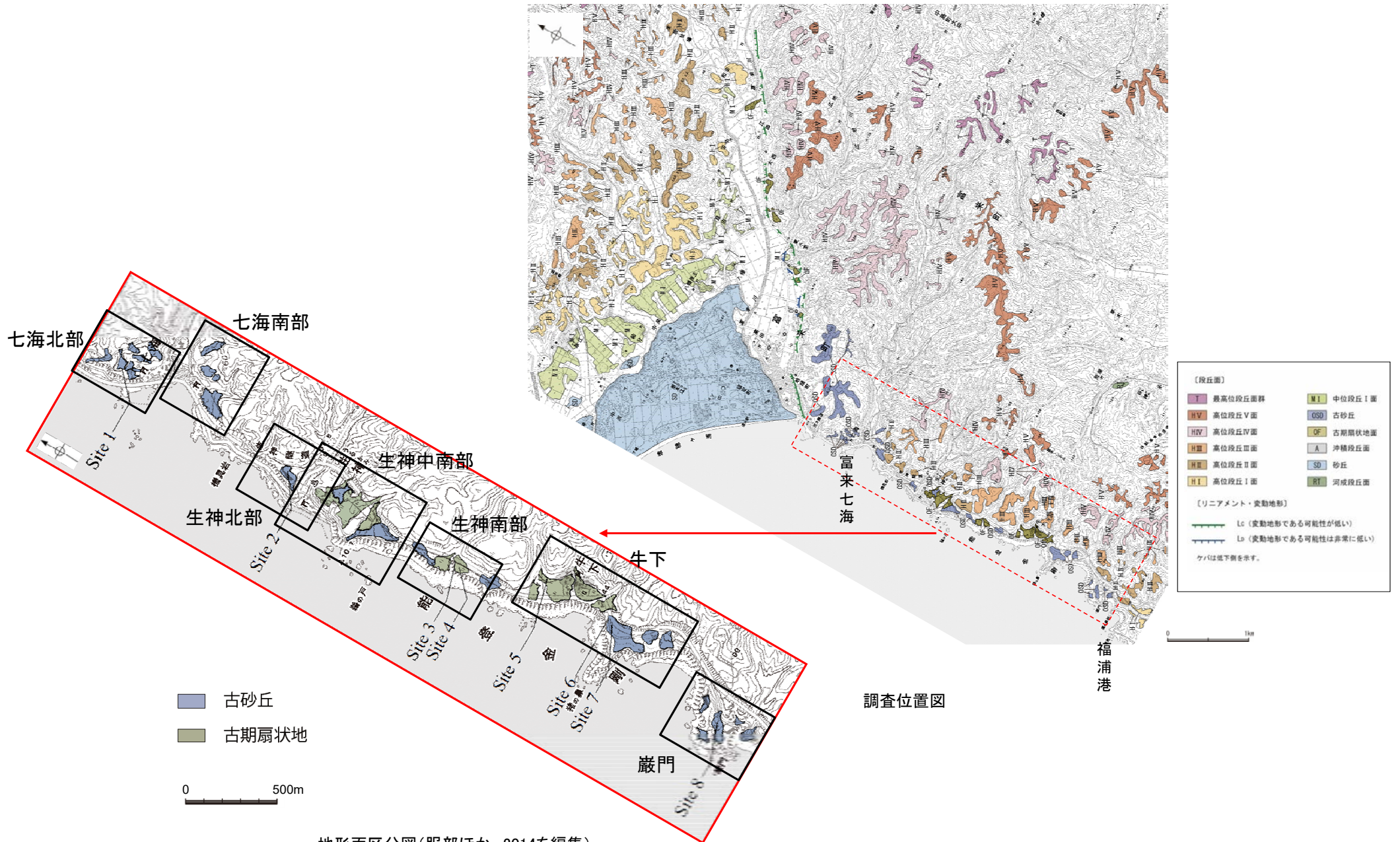


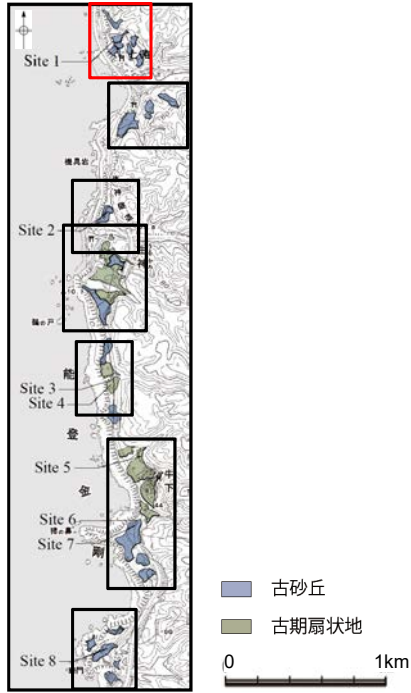
全体調査位置図



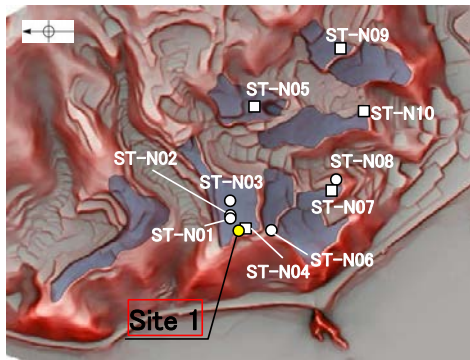
地形面区分図(服部ほか, 2014を編集)

七海北部 Site 1 (コア写真・柱状図)

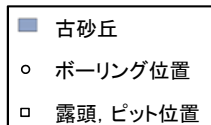
下図拡大範囲



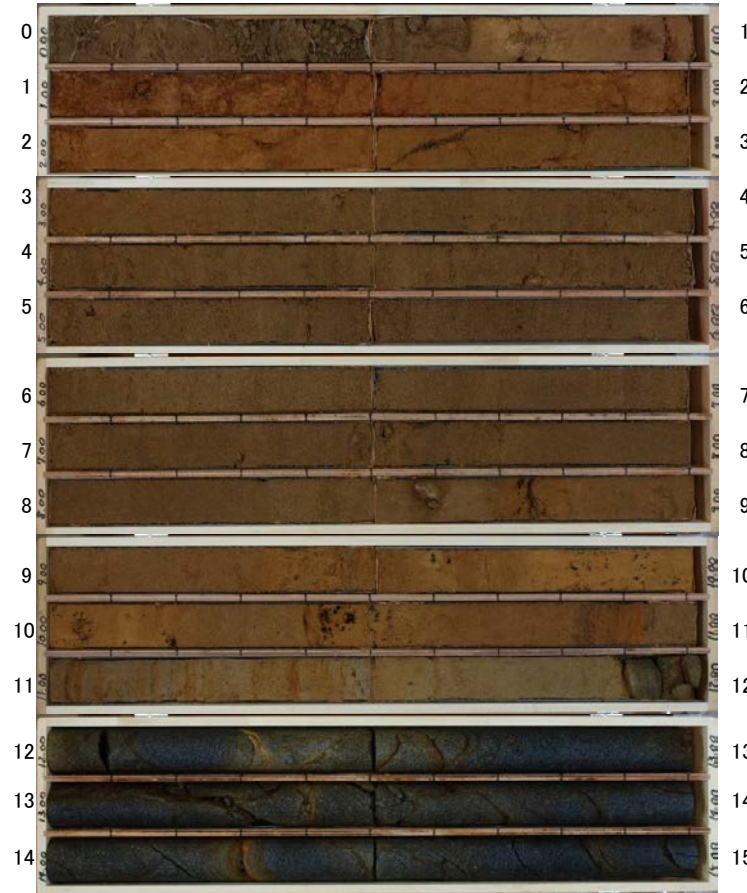
地形面区分図(服部ほか, 2014を編集)



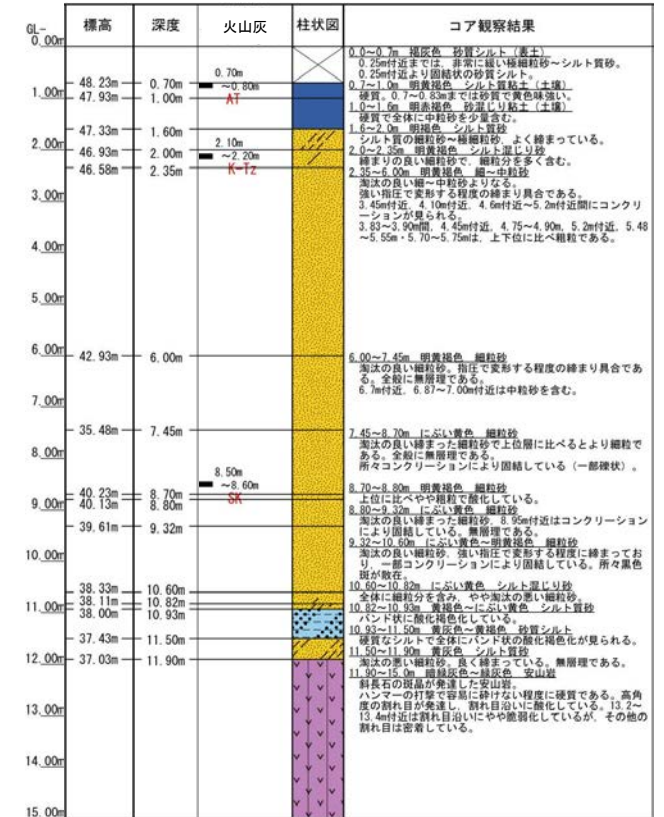
地形面区分図(服部ほか(2014)を編集)
(基図は1961年の空中写真から作成)



深度(m) Site 1 (孔口標高48.93m, 掘進長15m, 鉛直) 深度(m)

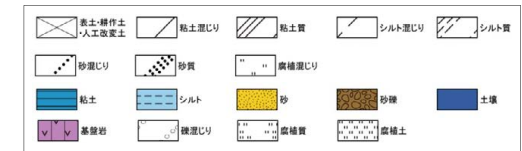


コア写真(深度0~15m)



柱状図

凡例



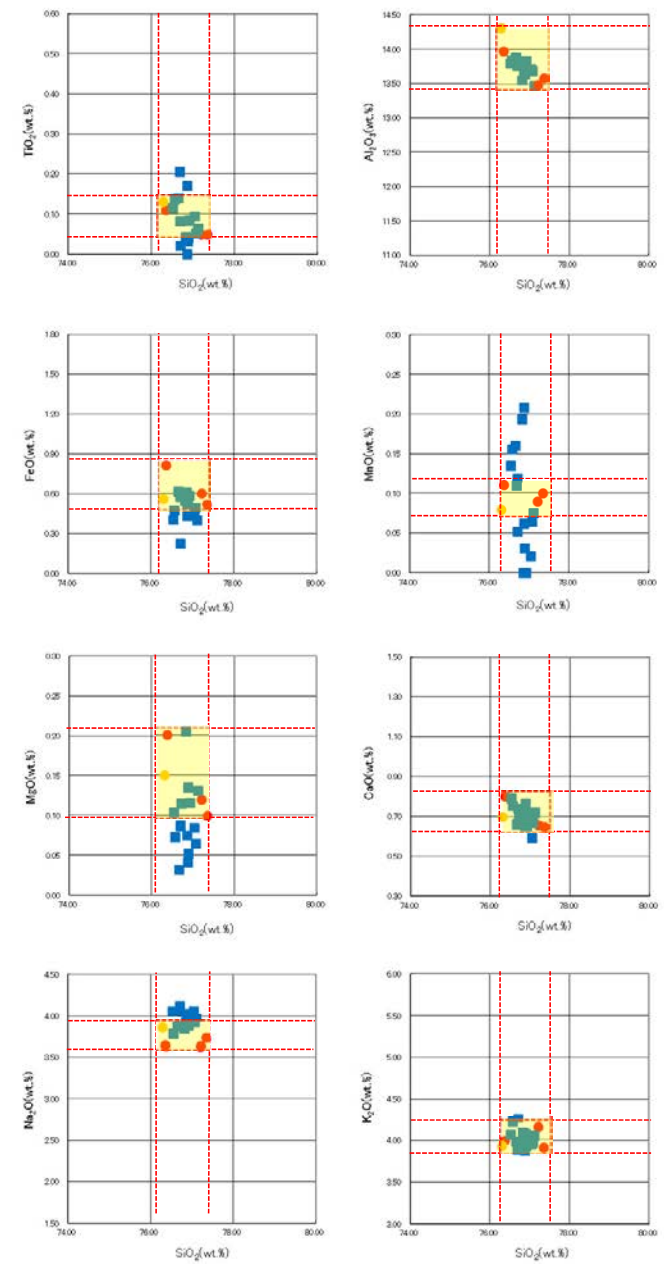
七海北部 Site 1 (火山灰分析結果)

| 試料番号 | テフラ名 | 火山ガラスの 形別含有量 (/3000粒子) | 重鉱物の含有量 (/3000粒子) | | | β石英 (/3000粒子) | 備考 | 火山ガラスの屈折率 (nd) | |
|-------------|------|------------------------------|----------------------|-----|-----|------------------|----|----------------|-------|
| | | | Opx | GHo | Cum | | | 1.500 | 1.510 |
| 0.00-0.10 | | | | | | | | | |
| 0.10-0.20 | | | | | | | | | |
| 0.20-0.30 | | | | | | | | | |
| 0.30-0.40 | | | | | | | | | |
| 0.40-0.50 | | | | | | | | | |
| 0.50-0.60 | | | | | | | | | |
| 0.60-0.70 | AT | | | | | | | | |
| 0.70-0.80 | | | | | | | | | |
| 0.80-0.90 | | | | | | | | | |
| 0.90-1.00 | | | | | | | | | |
| 1.00-1.10 | | | | | | | | | |
| 1.10-1.20 | | | | | | | | | |
| 1.20-1.30 | | | | | | | | | |
| 1.30-1.40 | | | | | | | | | |
| 1.40-1.50 | | | | | | | | | |
| 1.50-1.60 | | | | | | | | | |
| 1.60-1.70 | | | | | | | | | |
| 1.70-1.80 | | | | | | | | | |
| 1.80-1.90 | | | | | | | | | |
| 1.90-2.00 | | | | | | | | | |
| 2.00-2.10 | | | | | | | | | |
| 2.10-2.20 | K-Fz | | | | | | | | |
| 2.20-2.35 | | | | | | | | | |
| 2.35-2.50 | | | | | | | | | |
| 2.50-2.70 | | | | | | | | | |
| 2.70-2.80 | | | | | | | | | |
| 2.80-2.90 | | | | | | | | | |
| 2.90-3.00 | | | | | | | | | |
| 3.00-3.10 | | | | | | | | | |
| 3.10-3.20 | | | | | | | | | |
| 3.20-3.30 | | | | | | | | | |
| 3.30-3.40 | | | | | | | | | |
| 3.40-3.50 | | | | | | | | | |
| 3.50-3.60 | | | | | | | | | |
| 3.60-3.70 | | | | | | | | | |
| 3.70-3.80 | | | | | | | | | |
| 3.80-3.90 | | | | | | | | | |
| 3.90-4.00 | | | | | | | | | |
| 4.00-4.10 | | | | | | | | | |
| 4.10-4.20 | | | | | | | | | |
| 4.20-4.30 | | | | | | | | | |
| 4.30-4.40 | | | | | | | | | |
| 4.40-4.50 | | | | | | | | | |
| 4.50-4.60 | | | | | | | | | |
| 4.60-4.70 | | | | | | | | | |
| 4.70-4.80 | | | | | | | | | |
| 4.80-4.90 | | | | | | | | | |
| 4.90-5.00 | | | | | | | | | |
| 5.00-5.10 | | | | | | | | | |
| 5.10-5.20 | | | | | | | | | |
| 5.20-5.30 | | | | | | | | | |
| 5.30-5.40 | | | | | | | | | |
| 5.40-5.50 | | | | | | | | | |
| 5.50-5.60 | | | | | | | | | |
| 5.60-5.70 | | | | | | | | | |
| 5.70-5.80 | | | | | | | | | |
| 5.80-5.90 | | | | | | | | | |
| 5.90-6.00 | | | | | | | | | |
| 6.00-6.10 | | | | | | | | | |
| 6.10-6.20 | | | | | | | | | |
| 6.20-6.30 | | | | | | | | | |
| 6.30-6.40 | | | | | | | | | |
| 6.40-6.50 | | | | | | | | | |
| 6.50-6.60 | | | | | | | | | |
| 6.60-6.70 | | | | | | | | | |
| 6.70-6.80 | | | | | | | | | |
| 6.80-6.90 | | | | | | | | | |
| 6.90-7.00 | | | | | | | | | |
| 7.00-7.10 | | | | | | | | | |
| 7.10-7.20 | | | | | | | | | |
| 7.20-7.30 | | | | | | | | | |
| 7.30-7.45 | | | | | | | | | |
| 7.45-7.60 | | | | | | | | | |
| 7.60-7.70 | | | | | | | | | |
| 7.70-7.80 | | | | | | | | | |
| 7.80-7.90 | | | | | | | | | |
| 7.90-8.00 | | | | | | | | | |
| 8.00-8.10 | | | | | | | | | |
| 8.10-8.20 | | | | | | | | | |
| 8.20-8.30 | | | | | | | | | |
| 8.30-8.40 | | | | | | | | | |
| 8.40-8.50 | SK | | | | | | | | |
| 8.50-8.60 | | | | | | | | | |
| 8.60-8.70 | | | | | | | | | |
| 8.70-8.80 | | | | | | | | | |
| 8.80-8.90 | | | | | | | | | |
| 8.90-9.00 | | | | | | | | | |
| 9.00-9.10 | | | | | | | | | |
| 9.10-9.20 | | | | | | | | | |
| 9.20-9.30 | | | | | | | | | |
| 9.30-9.40 | | | | | | | | | |
| 9.40-9.50 | | | | | | | | | |
| 9.50-9.60 | | | | | | | | | |
| 9.60-9.70 | | | | | | | | | |
| 9.70-9.80 | | | | | | | | | |
| 9.80-9.90 | | | | | | | | | |
| 9.90-10.00 | | | | | | | | | |
| 10.00-10.10 | | | | | | | | | |
| 10.10-10.20 | | | | | | | | | |
| 10.20-10.30 | | | | | | | | | |
| 10.30-10.40 | | | | | | | | | |
| 10.40-10.50 | | | | | | | | | |
| 10.50-10.60 | | | | | | | | | |
| 10.60-10.70 | | | | | | | | | |
| 10.70-10.80 | | | | | | | | | |
| 10.80-10.90 | | | | | | | | | |
| 10.90-11.00 | | | | | | | | | |
| 11.00-11.10 | | | | | | | | | |
| 11.10-11.20 | | | | | | | | | |
| 11.20-11.30 | | | | | | | | | |
| 11.30-11.40 | | | | | | | | | |
| 11.40-11.50 | | | | | | | | | |
| 11.50-11.60 | | | | | | | | | |
| 11.60-11.70 | | | | | | | | | |
| 11.70-11.80 | | | | | | | | | |
| 11.80-11.90 | | | | | | | | | |

■ バブルウォール型タイプ
□ 放射状型タイプ

OpX: 斜方輝石
GHo: 緑角閃輝石
Cum: カルシウム閃輝石

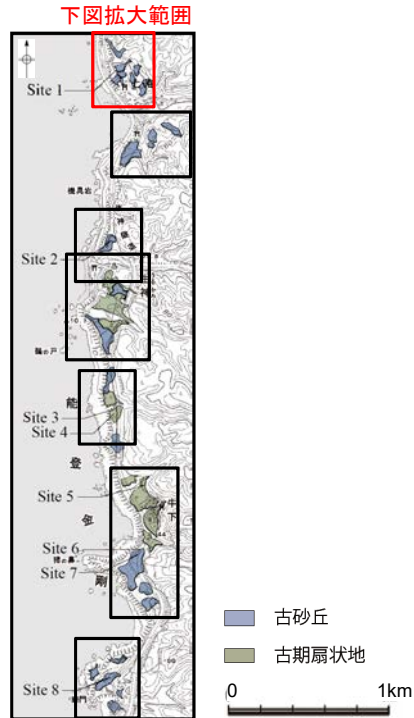
火山灰分析結果



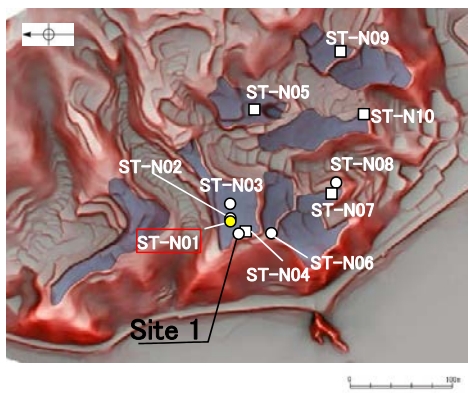
- 試料番号8.50-8.60におけるSKの火山ガラス
- 文献によるSKの分布範囲
- 青木・町田 (2006)におけるSKに含まれる火山ガラス (採取地: 鳥取, 島根, 山形)
- 長橋ほか (2007)におけるSKに含まれる火山ガラス (採取地: 島根)

火山ガラスの主成分分析結果: 試料番号8.50-8.60

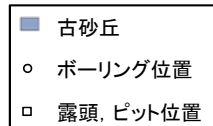
七海北部 ST-N01(コア写真・柱状図)



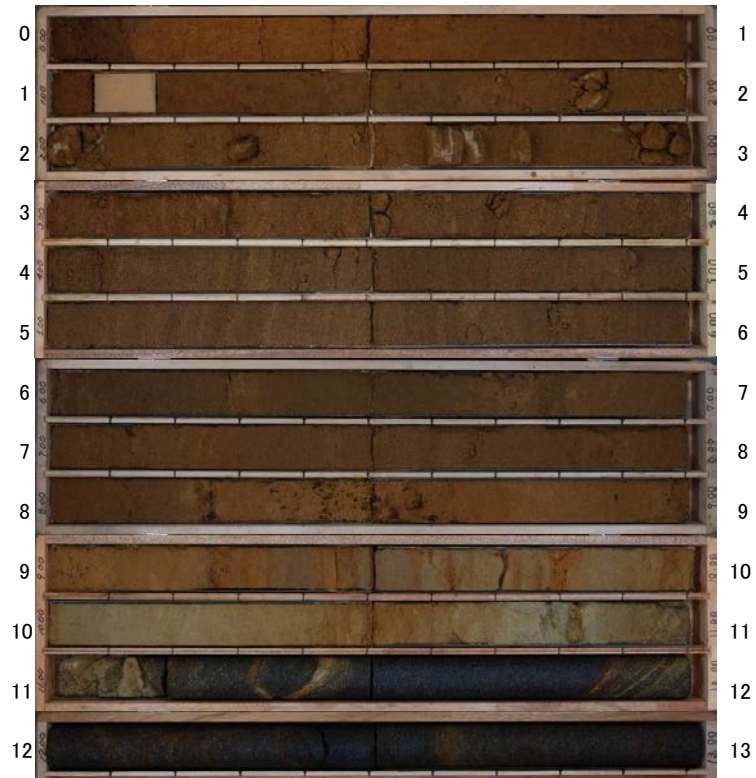
地形面区分図(服部ほか, 2014を編集)



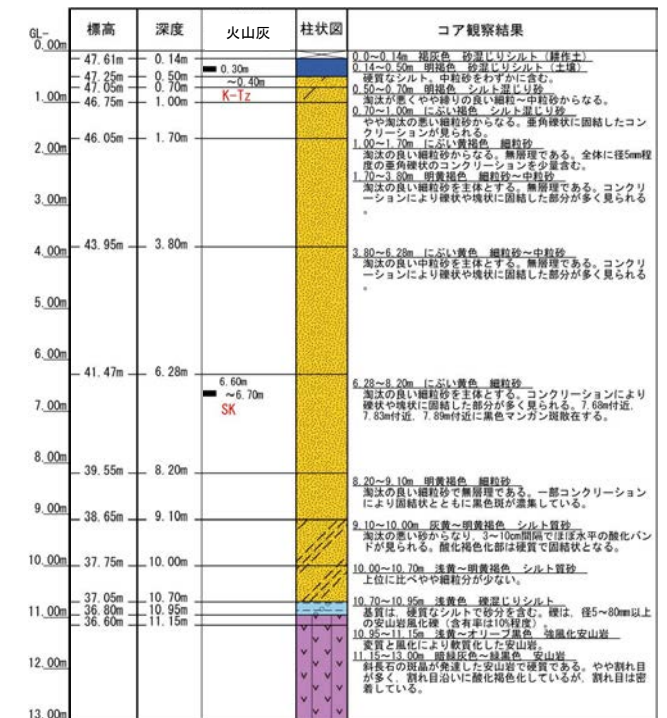
地形面区分図(服部ほか(2014)を編集)
(基図は1961年の空中写真から作成)



深度(m) ST-N01(孔口標高47.75m, 掘進長13m, 鉛直) 深度(m)

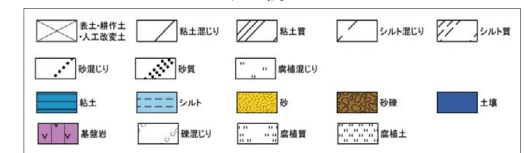


コア写真(深度0~13m)

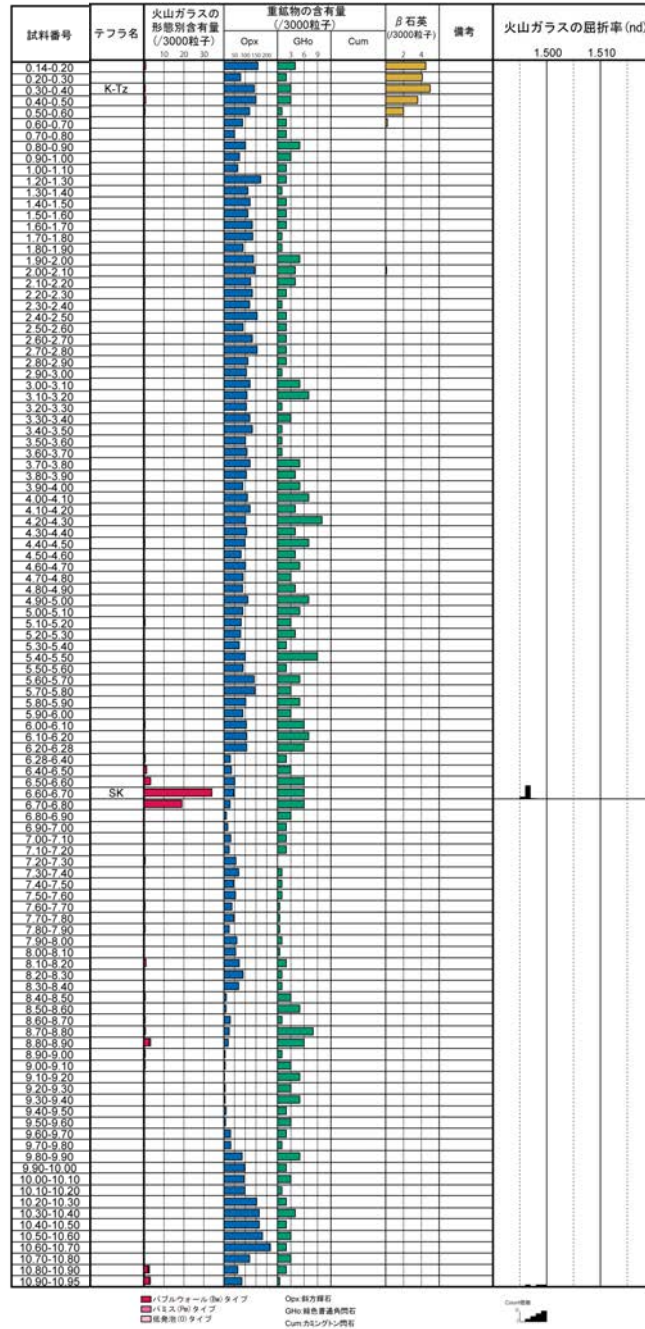


柱状図

凡例



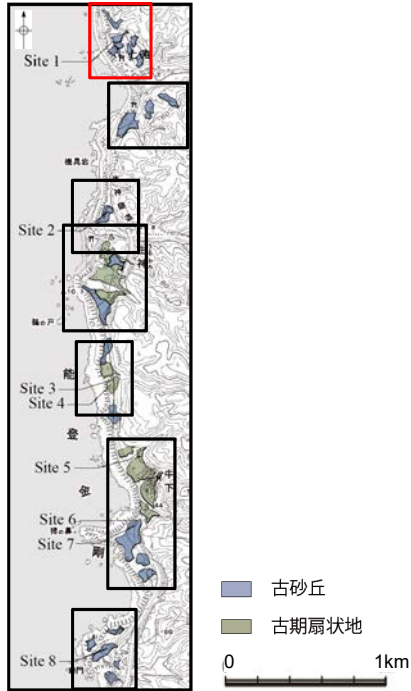
七海北部 ST-N01(火山灰分析結果)



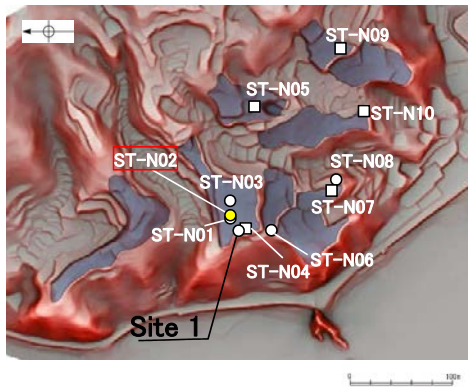
火山灰分析結果

七海北部 ST-N02(コア写真・柱状図)

下図拡大範囲

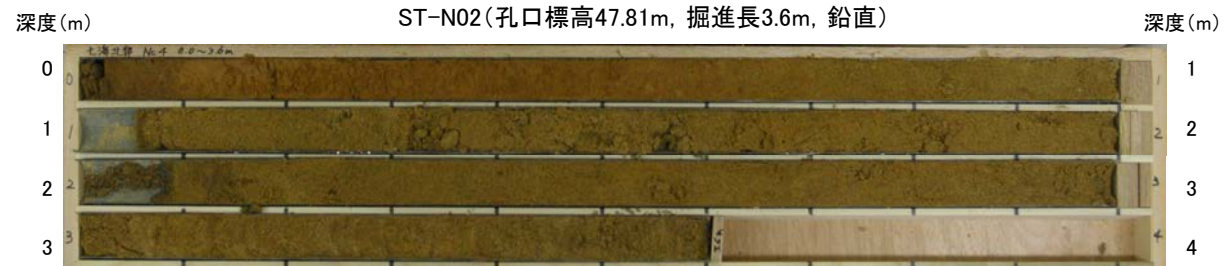


地形面区分図(服部ほか, 2014を編集)



地形面区分図(服部ほか(2014)を編集)
(基図は1961年の空中写真から作成)

- 古砂丘
- ボーリング位置
- 露頭, ピット位置

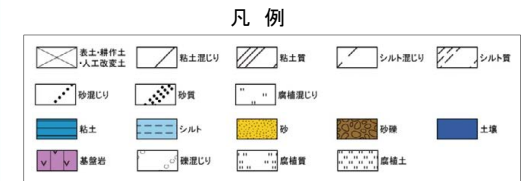


コア写真(深度0~3.6m)

※深度1.0~1.1m間と2.0~2.1m間は、コアサンプラーの打撃によりコアが圧縮されて隙間が空いた区間。

| GL- | 標高 | 深度 | 火山灰 | 柱状図 | コア観察結果 |
|-------|--------|-------|-------------------------|-----|---|
| 0.00m | 47.61m | 0.20m | K-Tz混在 (0.20m~0.40m) | | 0.00~0.20m 耕作土 |
| 1.00m | | | | | 0.20~3.60m にふい黄褐色 中粒~細粒砂 砂粒子は垂円~垂角形で、淘汰は良い。指圧で跡が残らないほど良く締まる。 深度0.2~0.4mは、やや土壌化を被り、シルト分をわずかに含み、褐色を呈す。径1~3cm程度のコンクリーションを含む。まれに、幅2mm程度の褐鉄鉱が挟まれる。 |
| 2.00m | | | SK (2.6m~2.7m) | | |
| 3.00m | | | | | |
| 3.60m | | | | | |

柱状図



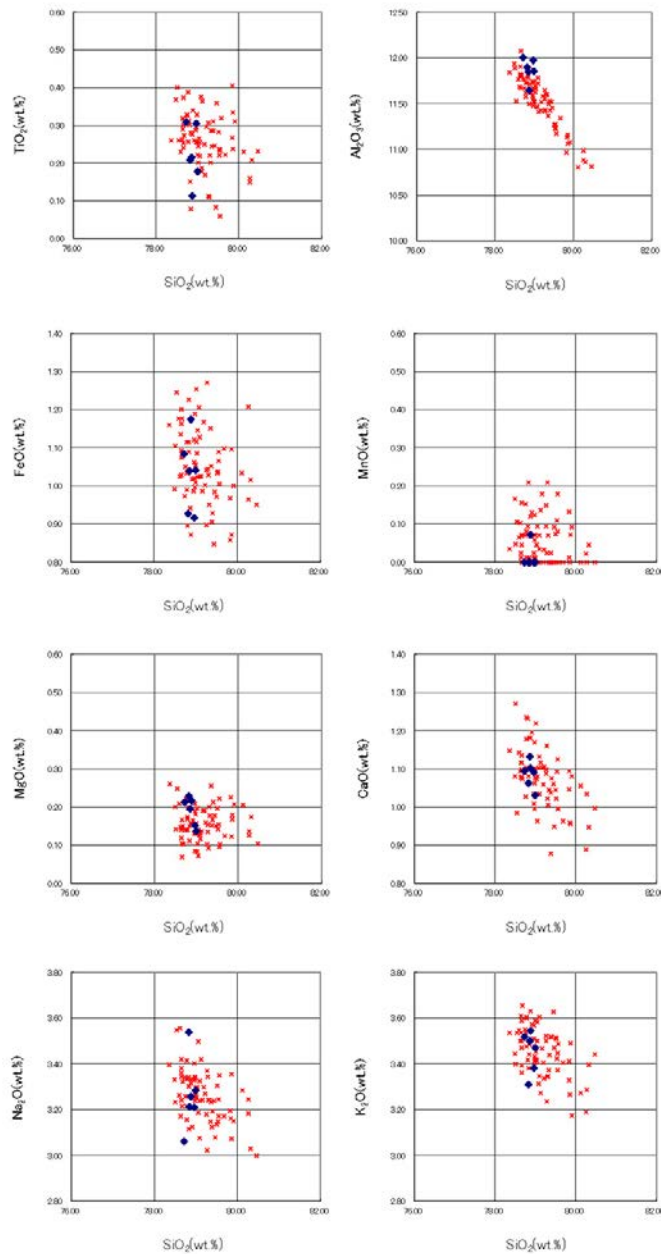
七海北部 ST-N02(火山灰分析結果①)

| 試料番号 | テフラ名 | 火山ガラスの 形態別含有量 (/3000粒子) | 重鉱物の含有量 (/3000粒子) | | | β石英 (/3000粒子) | 備考 | 火山ガラスの屈折率 (nd) | | | 角閃石の屈折率 (n2) | |
|------|--------|-------------------------------|----------------------|-----|-----|------------------|----------|----------------|-----|-----|--------------|-------|
| | | | 0.5 | 1.0 | 1.5 | | | Opx | GHo | Cum | 1.500 | 1.510 |
| A-02 | K-Tz混在 | ■ | ■ | ■ | ■ | ■ | ガラス包有物含む | | | | | |
| A-03 | | ■ | ■ | ■ | ■ | ■ | ガラス包有物含む | | | | | |
| A-04 | | ■ | ■ | ■ | ■ | ■ | ガラス包有物含む | | | | | |
| A-05 | | ■ | ■ | ■ | ■ | ■ | ガラス包有物含む | | | | | |
| A-06 | | | | ■ | ■ | | | | | | | |
| A-07 | | | | ■ | ■ | | | | | | | |
| A-08 | | | | ■ | ■ | | | | | | | |
| A-09 | | | | ■ | ■ | | | | | | | |
| A-10 | | ■ | ■ | ■ | ■ | | | | | | | |
| A-11 | | ■ | ■ | ■ | ■ | | | | | | | |
| A-12 | | ■ | ■ | ■ | ■ | | | | | | | |
| A-13 | | | | | ■ | ■ | | | | | | |
| A-14 | | | | | ■ | ■ | | | | | | |
| A-15 | | | | | ■ | ■ | | | | | | |
| A-16 | | | | | ■ | ■ | | | | | | |
| A-17 | | ■ | ■ | ■ | ■ | ■ | | | | | | |
| A-18 | | ■ | ■ | ■ | ■ | ■ | | | | | | |
| A-19 | | ■ | ■ | ■ | ■ | ■ | | | | | | |
| A-20 | | ■ | ■ | ■ | ■ | ■ | | | | | | |
| A-21 | | ■ | ■ | ■ | ■ | ■ | | | | | | |
| A-22 | | ■ | ■ | ■ | ■ | ■ | | | | | | |
| A-23 | | ■ | ■ | ■ | ■ | ■ | | | | | | |
| A-24 | | ■ | ■ | ■ | ■ | ■ | | | | | | |
| A-25 | | ■ | ■ | ■ | ■ | ■ | | | | | | |
| A-26 | SK | ■ | ■ | ■ | ■ | ■ | | | | | | |
| A-27 | | ■ | ■ | ■ | ■ | ■ | | | | | | |
| A-28 | | ■ | ■ | ■ | ■ | ■ | | | | | | |
| A-29 | | ■ | ■ | ■ | ■ | ■ | | | | | | |
| A-30 | | | | | ■ | ■ | | | | | | |
| A-31 | | | | | ■ | ■ | | | | | | |
| A-32 | | ■ | ■ | ■ | ■ | ■ | | | | | | |
| A-33 | | ■ | ■ | ■ | ■ | ■ | | | | | | |
| A-34 | | ■ | ■ | ■ | ■ | ■ | | | | | | |
| A-35 | | | | | ■ | ■ | | | | | | |

■ バブルウォール (Bw) タイプ Opx: 斜方輝石
■ バミス (Pm) タイプ GHo: 緑色普通角閃石
■ 低発泡 (O) タイプ Cum: カミングトン閃石

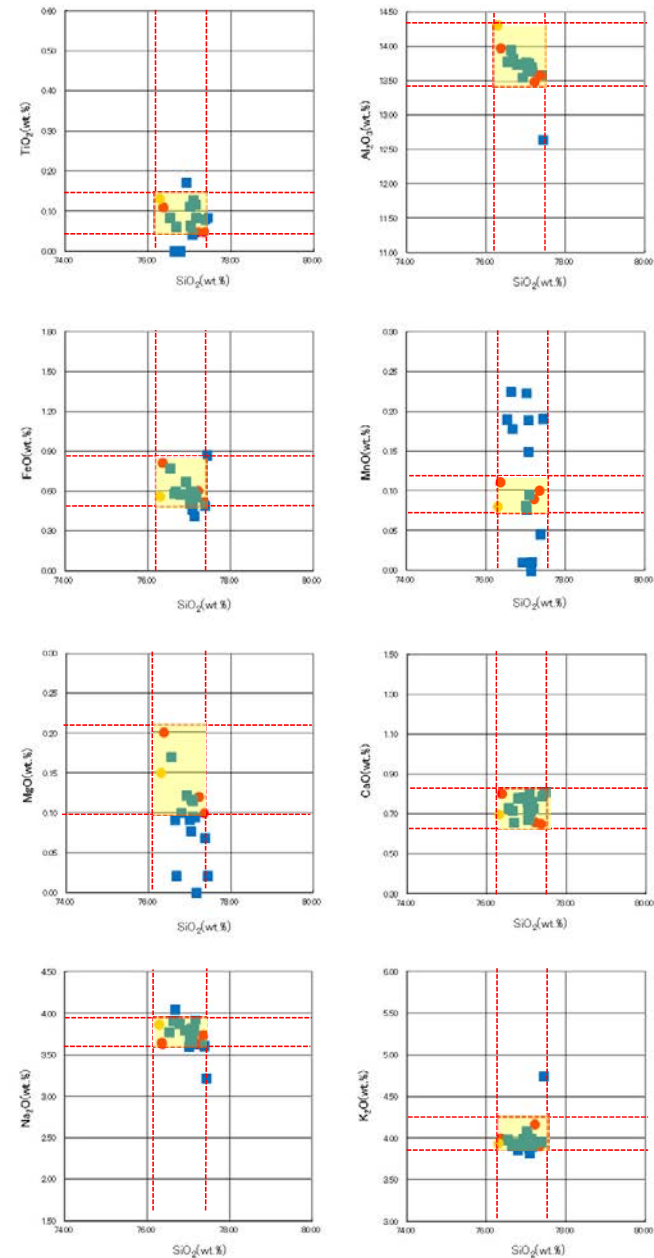
火山灰分析結果

七海北部 ST-N02 (火山灰分析結果②)



火山ガラスの主成分分析結果: 試料番号A-02

- ◆ 試料番号A-02におけるK-Tzに含まれるβ石英中のガラス包有物の主成分
- ★ 古澤・中村(2009)におけるK-Tzに含まれるβ石英中のガラス包有物の主成分

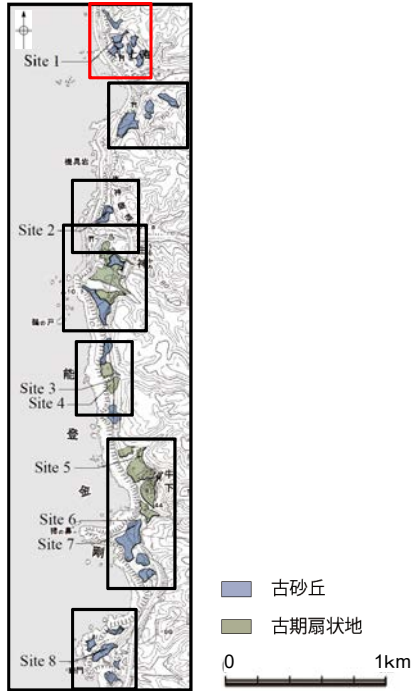


火山ガラスの主成分分析結果: 試料番号A-26

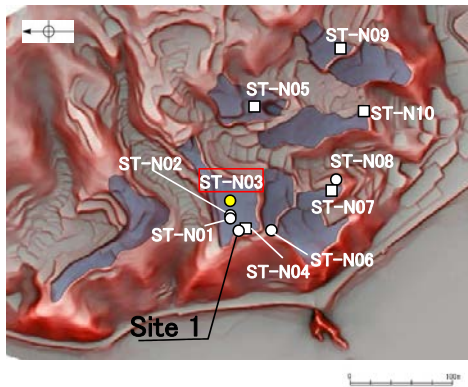
- 試料番号A-26におけるSKの火山ガラス
- 文献によるSKの分布範囲
- 青木・町田(2006)におけるSKに含まれる火山ガラス(採取地:鳥取, 島根, 山形)
- 長橋ほか(2007)におけるSKに含まれる火山ガラス(採取地:島根)

七海北部 ST-N03(コア写真・柱状図)

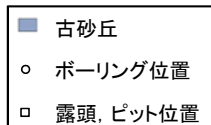
下図拡大範囲



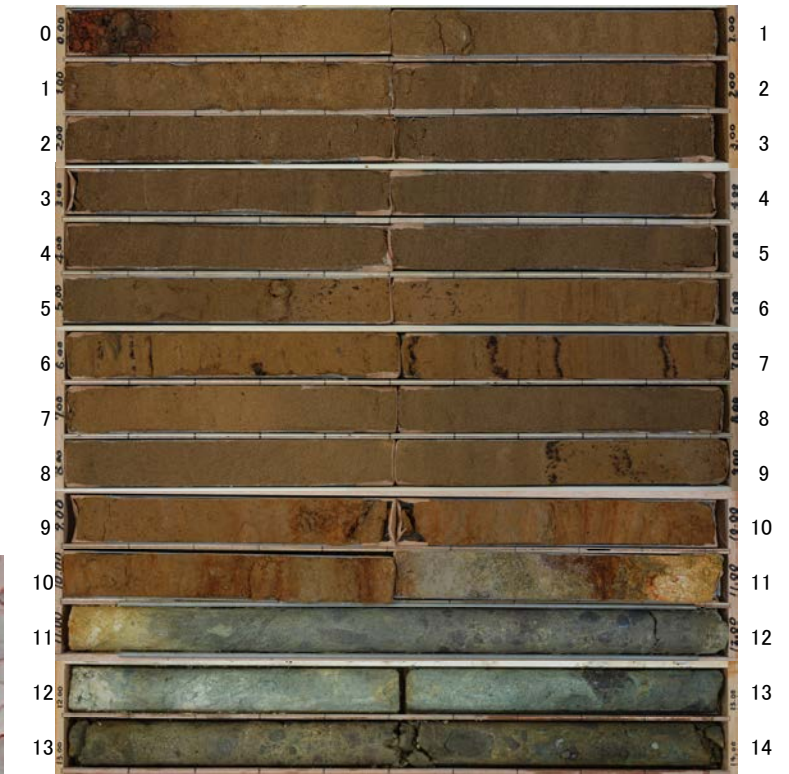
地形面区分図(服部ほか, 2014を編集)



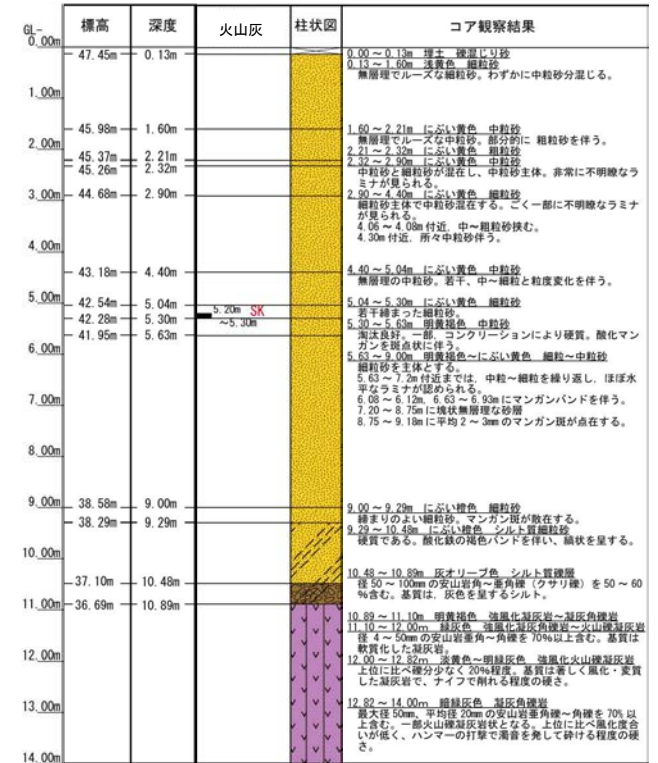
地形面区分図(服部ほか(2014)を編集)
(基図は1961年の空中写真から作成)



ST-N03(孔口標高47.58m, 掘進長14m, 鉛直)

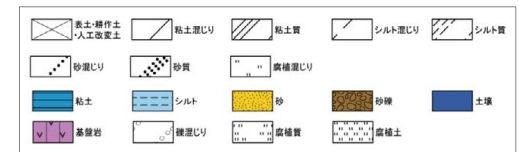


コア写真(深度0~14m)



柱状図

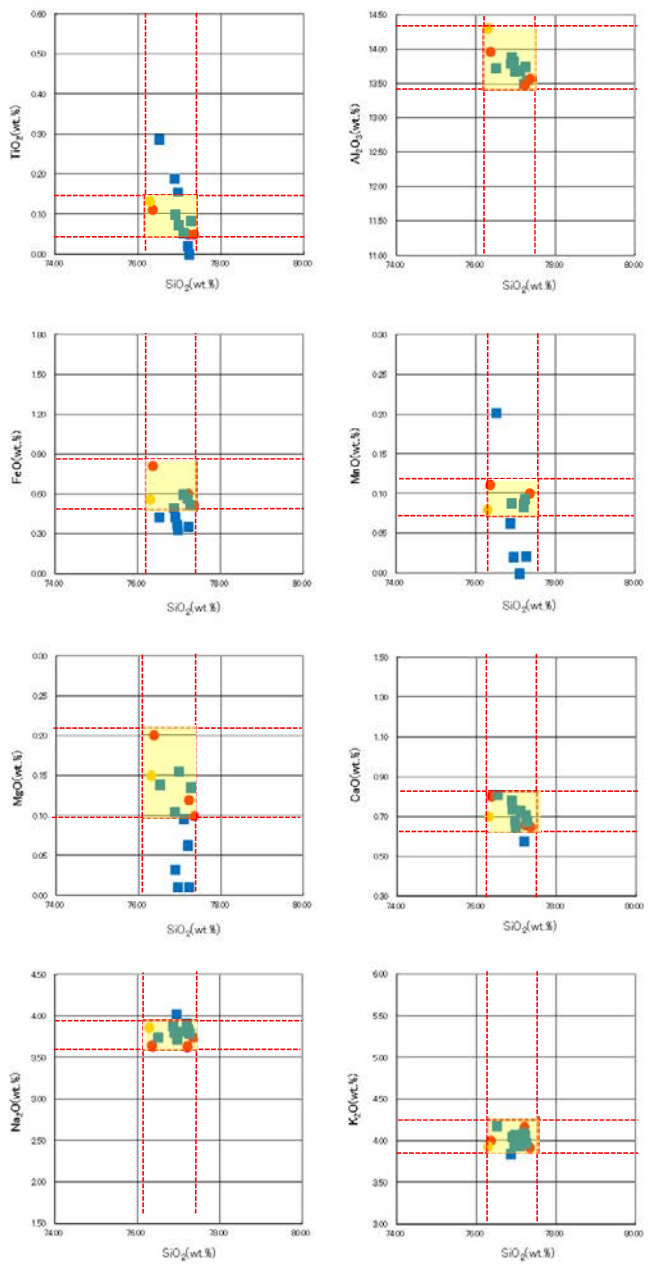
凡例



七海北部 ST-N03(火山灰分析結果)

| 試料番号 | テフラ名 | 火山ガラスの形態別含有量 (/3000粒子) | | | 重鉱物の含有量 (/3000粒子) | | | β石英 (/3000粒子) | 備考 | 火山ガラスの屈折率 (nd) | |
|-------------|------|------------------------|----|----|-------------------|-----|-----|---------------|-----|----------------|-------|
| | | 5 | 10 | 15 | Opx | GHo | Cum | | | 1.500 | 1.510 |
| 0.13-0.20 | | | | | | | | | | | |
| 0.20-0.30 | | | | | | | | | | | |
| 0.30-0.40 | | | | | | | | | | | |
| 0.40-0.50 | | | | | | | | | | | |
| 0.50-0.60 | | | | | | | | | | | |
| 0.60-0.70 | | | | | | | | | | | |
| 0.70-0.80 | | | | | | | | | | | |
| 0.80-0.90 | | | | | | | | | | | |
| 0.90-1.00 | | | | | | | | | | | |
| 1.00-1.10 | | | | | | | | | | | |
| 1.10-1.20 | | | | | | | | | | | |
| 1.20-1.30 | | | | | | | | | | | |
| 1.30-1.40 | | | | | | | | | | | |
| 1.40-1.50 | | | | | | | | | | | |
| 1.50-1.60 | | | | | | | | | | | |
| 1.60-1.70 | | | | | | | | | | | |
| 1.70-1.80 | | | | | | | | | | | |
| 1.80-1.90 | | | | | | | | | | | |
| 1.90-2.00 | | | | | | | | | | | |
| 2.00-2.10 | | | | | | | | | | | |
| 2.10-2.21 | | | | | | | | | | | |
| 2.21-2.32 | | | | | | | | | | | |
| 2.32-2.40 | | | | | | | | | | | |
| 2.40-2.50 | | | | | | | | | | | |
| 2.50-2.60 | | | | | | | | | | | |
| 2.60-2.70 | | | | | | | | | | | |
| 2.70-2.80 | | | | | | | | | | | |
| 2.80-2.90 | | | | | | | | | | | |
| 2.90-3.00 | | | | | | | | | | | |
| 3.00-3.10 | | | | | | | | | | | |
| 3.10-3.20 | | | | | | | | | | | |
| 3.20-3.30 | | | | | | | | | | | |
| 3.30-3.40 | | | | | | | | | | | |
| 3.40-3.50 | | | | | | | | | | | |
| 3.50-3.60 | | | | | | | | | | | |
| 3.60-3.70 | | | | | | | | | | | |
| 3.70-3.80 | | | | | | | | | | | |
| 3.80-3.90 | | | | | | | | | | | |
| 3.90-4.00 | | | | | | | | | | | |
| 4.00-4.10 | | | | | | | | | | | |
| 4.10-4.20 | | | | | | | | | | | |
| 4.20-4.30 | | | | | | | | | | | |
| 4.30-4.40 | | | | | | | | | | | |
| 4.40-4.50 | | | | | | | | | | | |
| 4.50-4.60 | | | | | | | | | | | |
| 4.60-4.70 | | | | | | | | | | | |
| 4.70-4.80 | | | | | | | | | | | |
| 4.80-4.90 | | | | | | | | | | | |
| 4.90-5.00 | | | | | | | | | | | |
| 5.00-5.10 | | | | | | | | | | | |
| 5.10-5.20 | SK | | | | | | | | EDX | | |
| 5.20-5.30 | SK | | | | | | | | EDX | | |
| 5.30-5.40 | | | | | | | | | | | |
| 5.40-5.50 | | | | | | | | | | | |
| 5.50-5.63 | | | | | | | | | | | |
| 5.63-5.70 | | | | | | | | | | | |
| 5.70-5.80 | | | | | | | | | | | |
| 5.80-5.90 | | | | | | | | | | | |
| 5.90-6.00 | | | | | | | | | | | |
| 6.00-6.10 | | | | | | | | | | | |
| 6.10-6.20 | | | | | | | | | | | |
| 6.20-6.30 | | | | | | | | | | | |
| 6.30-6.40 | | | | | | | | | | | |
| 6.40-6.50 | | | | | | | | | | | |
| 6.50-6.60 | | | | | | | | | | | |
| 6.60-6.70 | | | | | | | | | | | |
| 6.70-6.80 | | | | | | | | | | | |
| 6.80-6.90 | | | | | | | | | | | |
| 6.90-7.00 | | | | | | | | | | | |
| 7.00-7.10 | | | | | | | | | | | |
| 7.10-7.20 | | | | | | | | | | | |
| 7.20-7.30 | | | | | | | | | | | |
| 7.30-7.40 | | | | | | | | | | | |
| 7.40-7.50 | | | | | | | | | | | |
| 7.50-7.60 | | | | | | | | | | | |
| 7.60-7.70 | | | | | | | | | | | |
| 7.70-7.80 | | | | | | | | | | | |
| 7.80-7.90 | | | | | | | | | | | |
| 7.90-8.00 | | | | | | | | | | | |
| 8.00-8.10 | | | | | | | | | | | |
| 8.10-8.20 | | | | | | | | | | | |
| 8.20-8.30 | | | | | | | | | | | |
| 8.30-8.40 | | | | | | | | | | | |
| 8.40-8.50 | | | | | | | | | | | |
| 8.50-8.60 | | | | | | | | | | | |
| 8.60-8.70 | | | | | | | | | | | |
| 8.70-8.80 | | | | | | | | | | | |
| 8.80-8.90 | | | | | | | | | | | |
| 8.90-9.00 | | | | | | | | | | | |
| 9.00-9.10 | | | | | | | | | | | |
| 9.10-9.20 | | | | | | | | | | | |
| 9.20-9.29 | | | | | | | | | | | |
| 9.29-9.40 | | | | | | | | | | | |
| 9.40-9.50 | | | | | | | | | | | |
| 9.50-9.60 | | | | | | | | | | | |
| 9.60-9.70 | | | | | | | | | | | |
| 9.70-9.80 | | | | | | | | | | | |
| 9.80-9.90 | | | | | | | | | | | |
| 9.90-10.00 | | | | | | | | | | | |
| 10.00-10.10 | | | | | | | | | | | |
| 10.10-10.20 | | | | | | | | | | | |
| 10.20-10.30 | | | | | | | | | | | |
| 10.30-10.40 | | | | | | | | | | | |
| 10.40-10.50 | | | | | | | | | | | |
| 10.50-10.60 | | | | | | | | | | | |

■ ハブルウォール(3)タイプ Opx: 斜方輝石
■ ハリス 3型タイプ GHo: 緑色普通角閃石
■ 尾東島 (3) タイプ Cum: カンテングン輝石

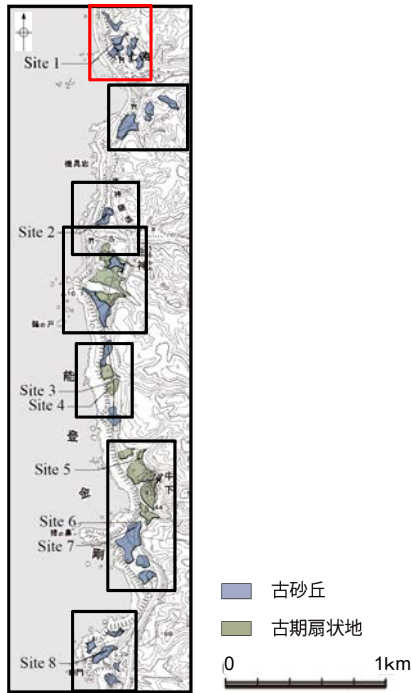


- 試料番号5.20-5.30におけるSKの火山ガラス
- 文献によるSKの分布範囲
- 青木・町田 (2006)におけるSKに含まれる火山ガラス (採取地: 鳥取, 島根, 山形)
- 長橋ほか (2007)におけるSKに含まれる火山ガラス (採取地: 島根)

火山ガラスの主成分分析結果: 試料番号5.20-5.30

七海北部 ST-N04(ピット写真・柱状図・火山灰分析結果)

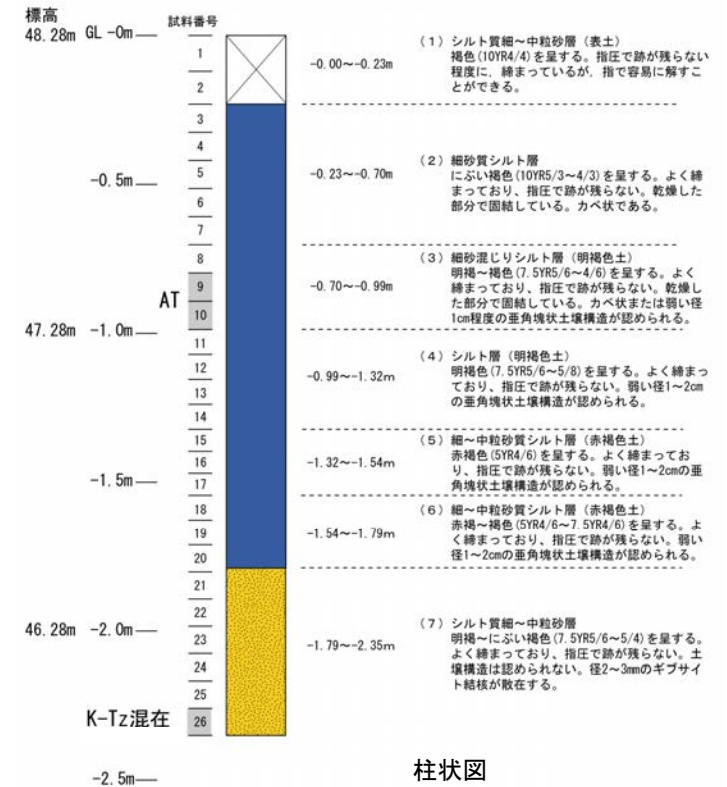
下図拡大範囲



地形面区分図(服部ほか, 2014を編集)

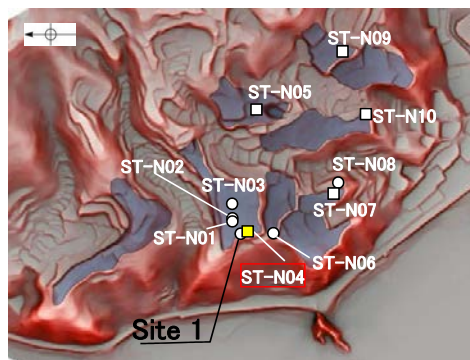
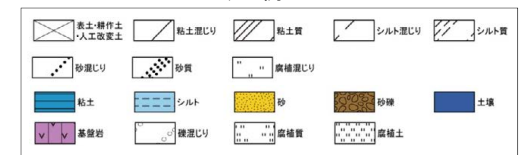


ピット写真(ST-N04)

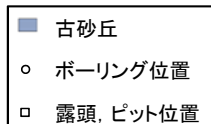


柱状図

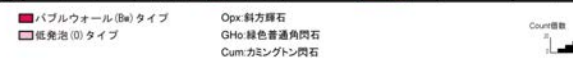
凡例



地形面区分図(服部ほか(2014)を編集)
(基図は1961年の空中写真から作成)

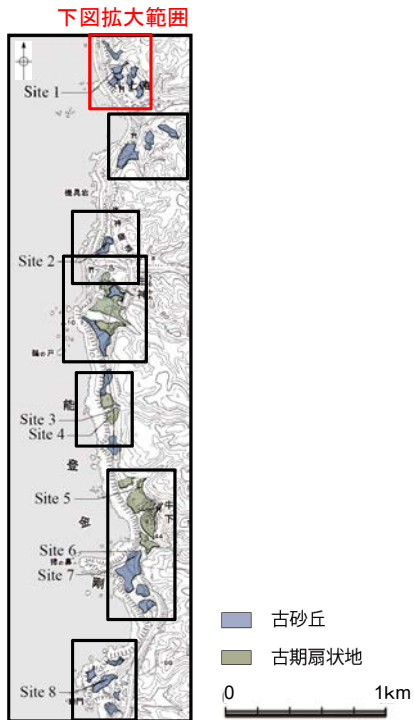


| 試料番号 | テフラ名 | 火山ガラスの形態別含有量 (/3000粒子) | 重鉱物の含有量 (/3000粒子) | | | β石英 (3000粒子) | 備考 | 火山ガラスの屈折率(nd) | |
|------|--------|------------------------|-------------------|-----|-----|--------------|----|---------------|-------|
| | | | Opx | GHo | Cum | | | 1.500 | 1.510 |
| 1 | | | | | | | | | |
| 2 | | | | | | | | | |
| 3 | | | | | | | | | |
| 4 | | | | | | | | | |
| 5 | | | | | | | | | |
| 6 | | | | | | | | | |
| 7 | | | | | | | | | |
| 8 | | | | | | | | | |
| 9 | | | | | | | | | |
| 10 | AT | | | | | | | | |
| 11 | | | | | | | | | |
| 12 | | | | | | | | | |
| 13 | | | | | | | | | |
| 14 | | | | | | | | | |
| 15 | | | | | | | | | |
| 16 | | | | | | | | | |
| 17 | | | | | | | | | |
| 18 | | | | | | | | | |
| 19 | | | | | | | | | |
| 20 | | | | | | | | | |
| 21 | | | | | | | | | |
| 22 | | | | | | | | | |
| 23 | | | | | | | | | |
| 24 | | | | | | | | | |
| 25 | | | | | | | | | |
| 26 | K-Tz混在 | | | | | | | | |



火山灰分析結果

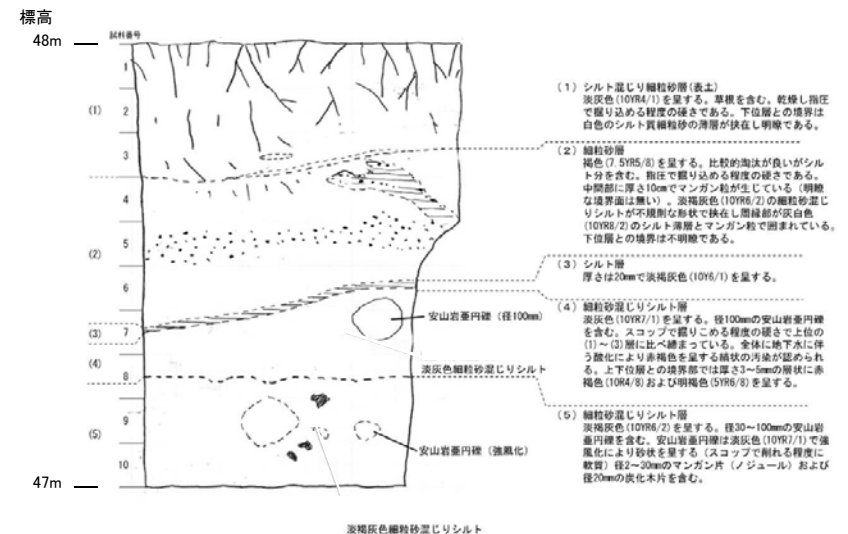
七海北部 ST-N05(ピット写真・スケッチ・火山灰分析結果)



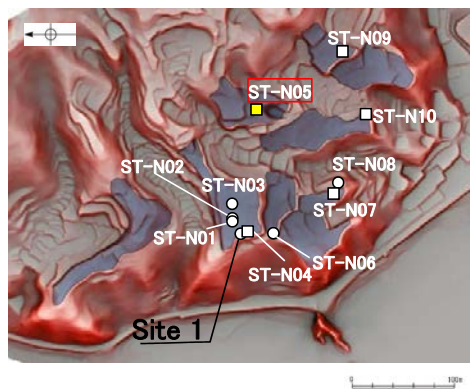
地形面区分図(服部ほか, 2014を編集)



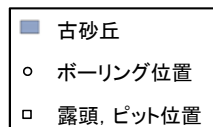
ピット写真(ST-N05)



スケッチ



地形面区分図(服部ほか(2014)を編集)
(基図は1961年の空中写真から作成)



| 試料番号 | テフラ名 | 火山ガラスの形態別含有量(/3000粒子) | 重鉱物の含有量(/3000粒子) | | | β石英(/3000粒子) | 備考 | 火山ガラスの屈折率(nd) | | | |
|------|------|-----------------------|------------------|-----|-----|--------------|----|---------------|-------|--|--|
| | | | Opx | GHo | Cum | | | 1.500 | 1.510 | | |
| 1 | | 0.5 | 20 | 40 | 60 | 5 | 10 | 15 | 0.5 | | |
| 2 | | | | | | | | | | | |
| 3 | | | | | | | | | | | |
| 4 | | | | | | | | | | | |
| 5 | | | | | | | | | | | |
| 6 | | | | | | | | | | | |
| 7 | | | | | | | | | | | |
| 8 | | | | | | | | | | | |
| 9 | | | | | | | | | | | |
| 10 | | | | | | | | | | | |

パブルウォール(Bw)タイプ
低発泡(O)タイプ

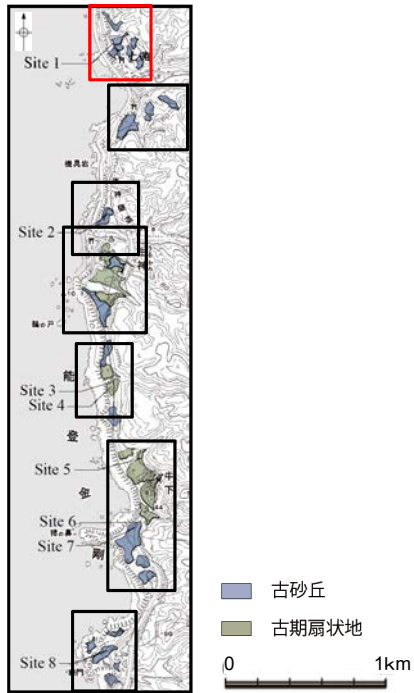
Opx:斜方輝石
GHo:緑色普通角閃石
Cum:カミングトン閃石



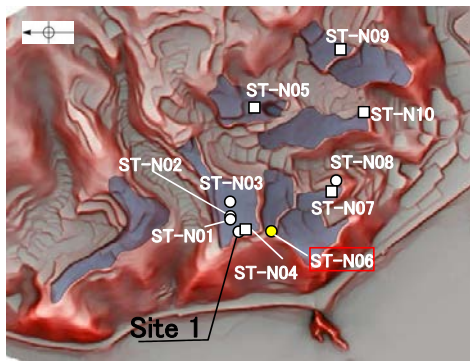
火山灰分析結果

七海北部 ST-N06(コア写真・柱状図)

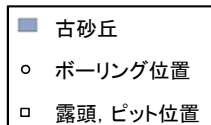
下図拡大範囲



地形面区分図(服部ほか, 2014を編集)



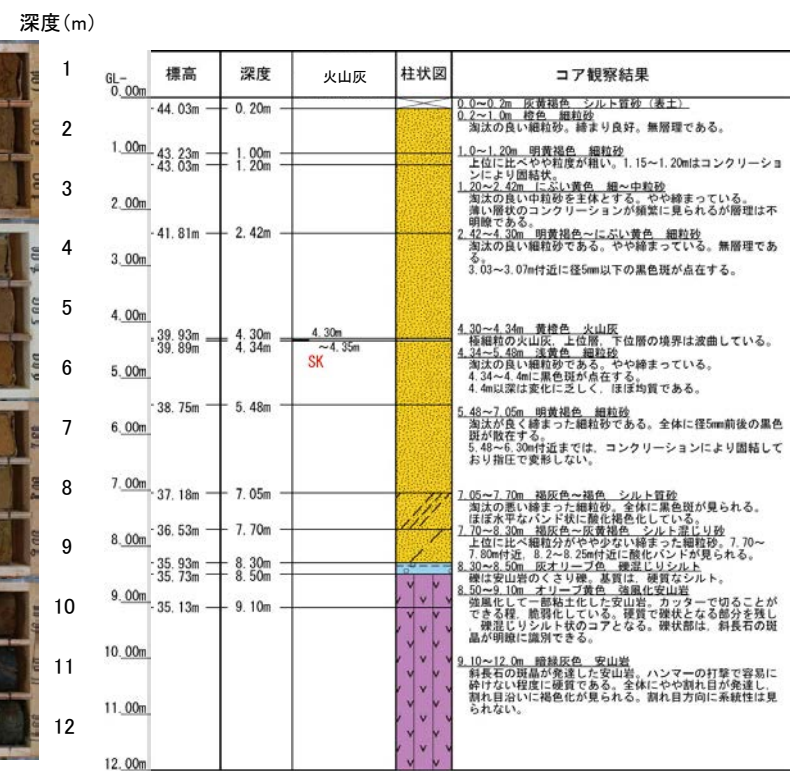
地形面区分図(服部ほか(2014)を編集)
(基図は1961年の空中写真から作成)



ST-N06(孔口標高44.23m, 掘進長12m, 鉛直)

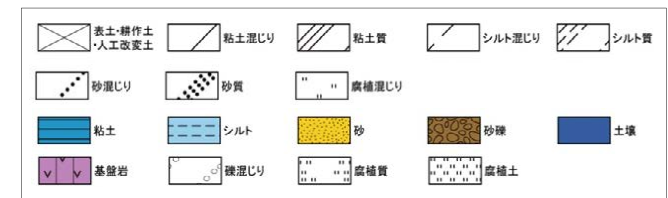


コア写真(深度0~12m)



柱状図

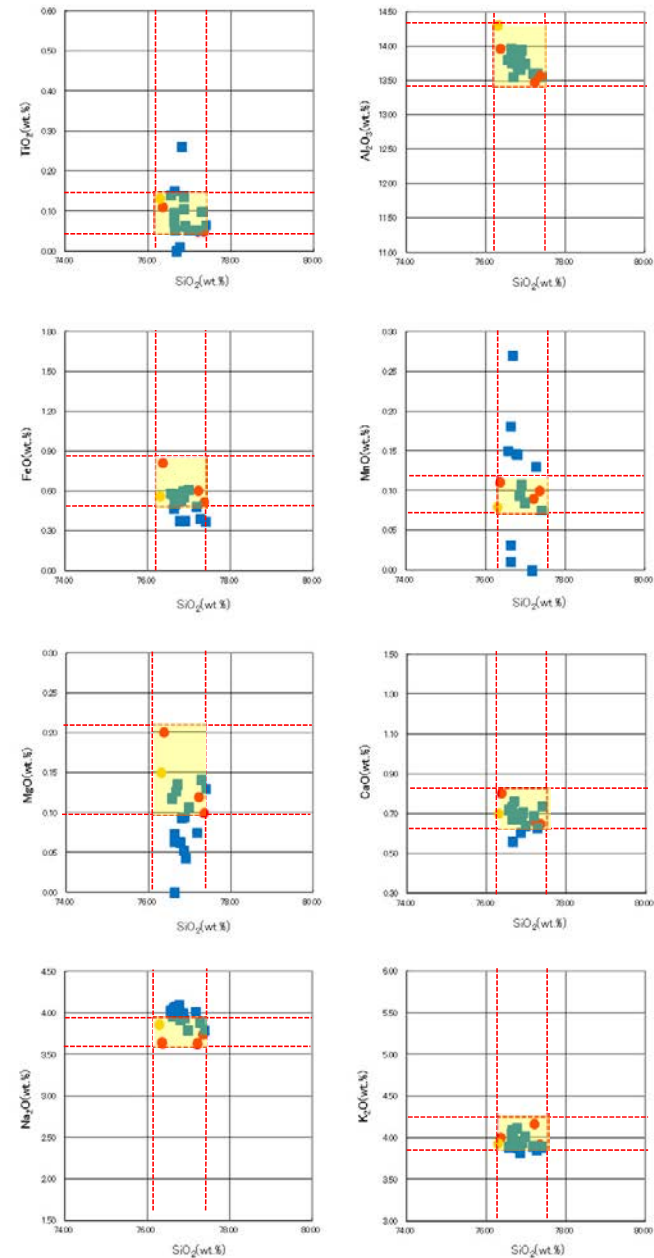
凡例



七海北部 ST-N06(火山灰分析結果)

| 試料番号 | テフラ名 | 火山ガラスの形態別含有量 (/3000粒子) | | | 重鉱物の含有量 (/3000粒子) | | | β石英 (3000粒子) | 備考 | 火山ガラスの屈折率 (nd) | |
|-----------|------|------------------------|-----|-----|-------------------|-----|-----|--------------|----|----------------|-------|
| | | 100 200 300 400 | OpX | GHo | Cum | OpX | GHo | | | Cum | 1.500 |
| 0.00-0.10 | | | | | | | | | | | |
| 0.10-0.20 | | | | | | | | | | | |
| 0.20-0.30 | | | | | | | | | | | |
| 0.30-0.40 | | | | | | | | | | | |
| 0.40-0.50 | | | | | | | | | | | |
| 0.50-0.60 | | | | | | | | | | | |
| 0.60-0.70 | | | | | | | | | | | |
| 0.70-0.80 | | | | | | | | | | | |
| 0.80-0.90 | | | | | | | | | | | |
| 0.90-1.00 | | | | | | | | | | | |
| 1.00-1.10 | | | | | | | | | | | |
| 1.10-1.20 | | | | | | | | | | | |
| 1.20-1.30 | | | | | | | | | | | |
| 1.30-1.40 | | | | | | | | | | | |
| 1.40-1.50 | | | | | | | | | | | |
| 1.50-1.60 | | | | | | | | | | | |
| 1.60-1.70 | | | | | | | | | | | |
| 1.70-1.80 | | | | | | | | | | | |
| 1.80-1.90 | | | | | | | | | | | |
| 1.90-2.00 | | | | | | | | | | | |
| 2.00-2.10 | | | | | | | | | | | |
| 2.10-2.20 | | | | | | | | | | | |
| 2.20-2.30 | | | | | | | | | | | |
| 2.30-2.40 | | | | | | | | | | | |
| 2.40-2.50 | | | | | | | | | | | |
| 2.50-2.60 | | | | | | | | | | | |
| 2.60-2.70 | | | | | | | | | | | |
| 2.70-2.80 | | | | | | | | | | | |
| 2.80-2.90 | | | | | | | | | | | |
| 2.90-3.00 | | | | | | | | | | | |
| 3.00-3.10 | | | | | | | | | | | |
| 3.10-3.20 | | | | | | | | | | | |
| 3.20-3.30 | | | | | | | | | | | |
| 3.30-3.40 | | | | | | | | | | | |
| 3.40-3.50 | | | | | | | | | | | |
| 3.50-3.60 | | | | | | | | | | | |
| 3.60-3.70 | | | | | | | | | | | |
| 3.70-3.80 | | | | | | | | | | | |
| 3.80-3.90 | | | | | | | | | | | |
| 3.90-4.00 | | | | | | | | | | | |
| 4.00-4.10 | | | | | | | | | | | |
| 4.10-4.20 | | | | | | | | | | | |
| 4.20-4.30 | | | | | | | | | | | |
| 4.30-4.35 | SK | | | | | | | | | | |
| 4.35-4.45 | | | | | | | | | | | |
| 4.45-4.60 | | | | | | | | | | | |
| 4.60-4.70 | | | | | | | | | | | |
| 4.70-4.80 | | | | | | | | | | | |
| 4.80-4.90 | | | | | | | | | | | |
| 4.90-5.00 | | | | | | | | | | | |
| 5.00-5.10 | | | | | | | | | | | |
| 5.10-5.20 | | | | | | | | | | | |
| 5.20-5.30 | | | | | | | | | | | |
| 5.30-5.40 | | | | | | | | | | | |
| 5.40-5.48 | | | | | | | | | | | |
| 5.48-5.60 | | | | | | | | | | | |
| 5.60-5.70 | | | | | | | | | | | |
| 5.70-5.80 | | | | | | | | | | | |
| 5.80-5.90 | | | | | | | | | | | |
| 5.90-6.00 | | | | | | | | | | | |
| 6.00-6.10 | | | | | | | | | | | |
| 6.10-6.20 | | | | | | | | | | | |
| 6.20-6.30 | | | | | | | | | | | |
| 6.30-6.40 | | | | | | | | | | | |
| 6.40-6.50 | | | | | | | | | | | |
| 6.50-6.60 | | | | | | | | | | | |
| 6.60-6.70 | | | | | | | | | | | |
| 6.70-6.80 | | | | | | | | | | | |
| 6.80-6.90 | | | | | | | | | | | |
| 6.90-7.05 | | | | | | | | | | | |
| 7.05-7.20 | | | | | | | | | | | |
| 7.20-7.30 | | | | | | | | | | | |
| 7.30-7.40 | | | | | | | | | | | |
| 7.40-7.50 | | | | | | | | | | | |
| 7.50-7.60 | | | | | | | | | | | |
| 7.60-7.70 | | | | | | | | | | | |
| 7.70-7.80 | | | | | | | | | | | |
| 7.80-7.90 | | | | | | | | | | | |
| 7.90-8.00 | | | | | | | | | | | |
| 8.00-8.10 | | | | | | | | | | | |
| 8.10-8.20 | | | | | | | | | | | |
| 8.20-8.30 | | | | | | | | | | | |
| 8.30-8.40 | | | | | | | | | | | |
| 8.40-8.50 | | | | | | | | | | | |

■ バブルウォール(Bw)タイプ
■ パミス (Pi)タイプ
■ 低発泡(L)タイプ
 OpX:斜方輝石
 GHo:緑色普通角閃石
 Cum:カメンチン閃石

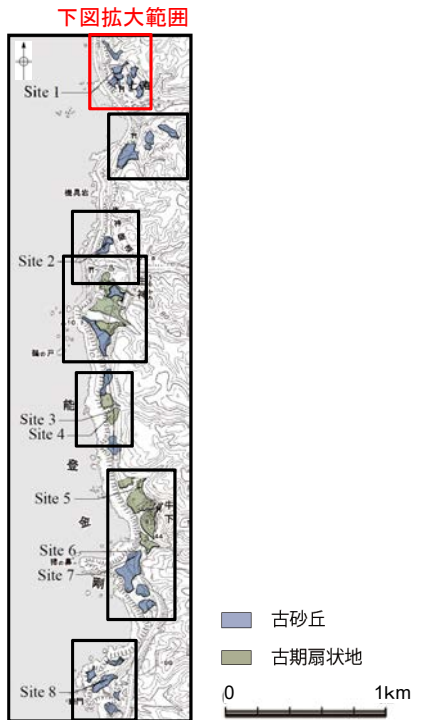


- 試料番号4.30-4.35におけるSKの火山ガラス
- 文献によるSKの分布範囲
- 青木・町田(2006)におけるSKに含まれる火山ガラス(採取地:鳥取, 島根, 山形)
- 長橋ほか(2007)におけるSKに含まれる火山ガラス(採取地:島根)

火山灰分析結果

火山ガラスの主成分分析結果: 試料番号4.30-4.35

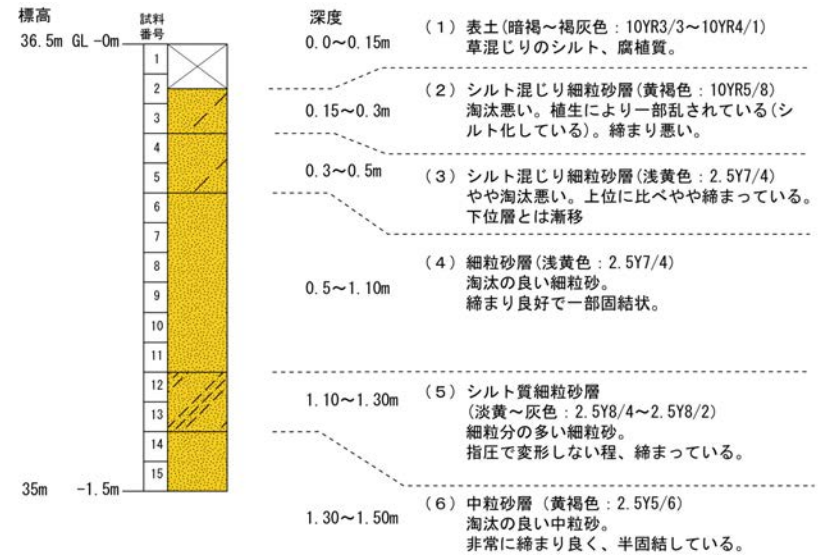
七海北部 ST-N07(露頭写真・柱状図・火山灰分析結果)



地形面区分図(服部ほか, 2014を編集)

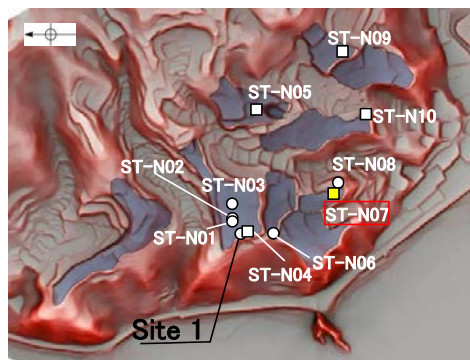
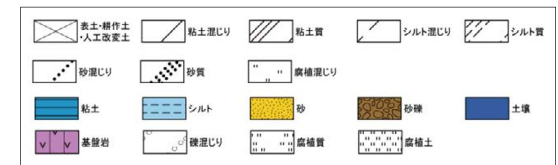


露頭写真(ST-N07)



柱状図

凡例



地形面区分図(服部ほか(2014)を編集)
(基図は1961年の空中写真から作成)

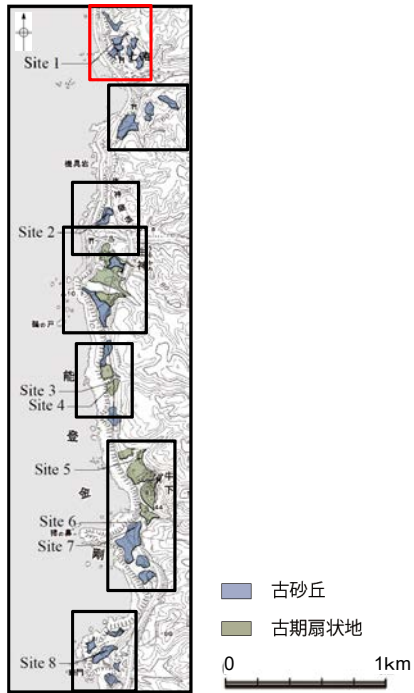
| 試料番号 | テフラ名 | 火山ガラスの形態別含有量 (/3000粒子) | | 重鉱物の含有量 (/3000粒子) | | | β 石英 (/3000粒子) | | | 備考 | 火山ガラスの屈折率 (nd) | |
|------|------|------------------------|---|-------------------|-----|---|----------------------|-----|-----|----|----------------|-------|
| | | 1 | 2 | Opx | GHo | | Cum | 0.5 | 1.0 | | 1.5 | 1.500 |
| 1 | | ■ | ■ | ■ | ■ | ■ | ■ | ■ | ■ | | | |
| 2 | | ■ | ■ | ■ | ■ | ■ | ■ | ■ | ■ | | | |
| 3 | | ■ | ■ | ■ | ■ | ■ | ■ | ■ | ■ | | | |
| 4 | | ■ | ■ | ■ | ■ | ■ | ■ | ■ | ■ | | | |
| 5 | | ■ | ■ | ■ | ■ | ■ | ■ | ■ | ■ | | | |
| 6 | | ■ | ■ | ■ | ■ | ■ | ■ | ■ | ■ | | | |
| 7 | | ■ | ■ | ■ | ■ | ■ | ■ | ■ | ■ | | | |
| 8 | | ■ | ■ | ■ | ■ | ■ | ■ | ■ | ■ | | | |
| 9 | | ■ | ■ | ■ | ■ | ■ | ■ | ■ | ■ | | | |
| 10 | | ■ | ■ | ■ | ■ | ■ | ■ | ■ | ■ | | | |
| 11 | | ■ | ■ | ■ | ■ | ■ | ■ | ■ | ■ | | | |
| 12 | | ■ | ■ | ■ | ■ | ■ | ■ | ■ | ■ | | | |
| 13 | | ■ | ■ | ■ | ■ | ■ | ■ | ■ | ■ | | | |
| 14 | | ■ | ■ | ■ | ■ | ■ | ■ | ■ | ■ | | | |
| 15 | | ■ | ■ | ■ | ■ | ■ | ■ | ■ | ■ | | | |

■ バブルウォール(Bw)タイプ
□ 低発泡(I)タイプ
OpX: 斜方輝石
GHo: 緑色普通角閃石
Cum: カミングトン閃石

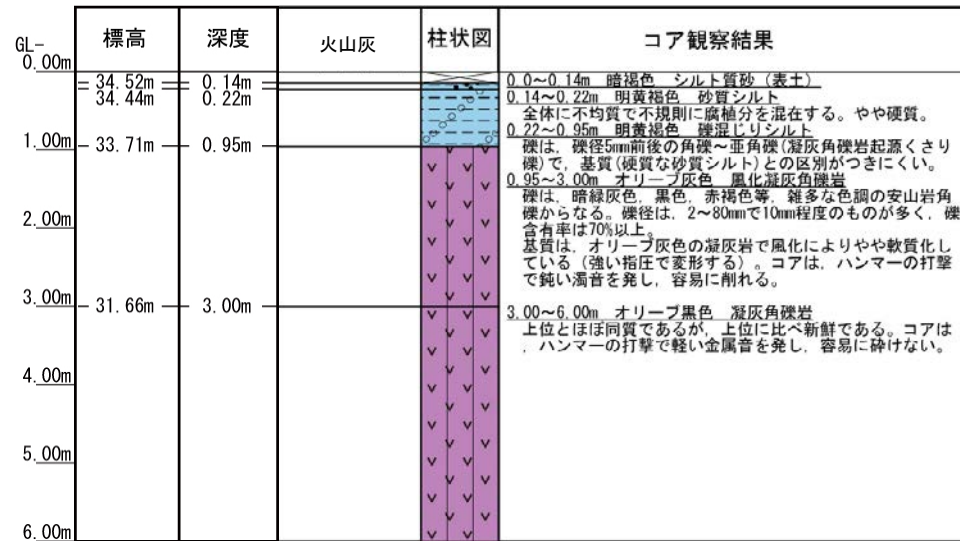
火山灰分析結果

七海北部 ST-N08(コア写真・柱状図)

下図拡大範囲

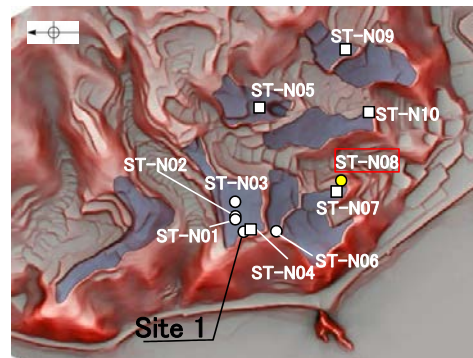
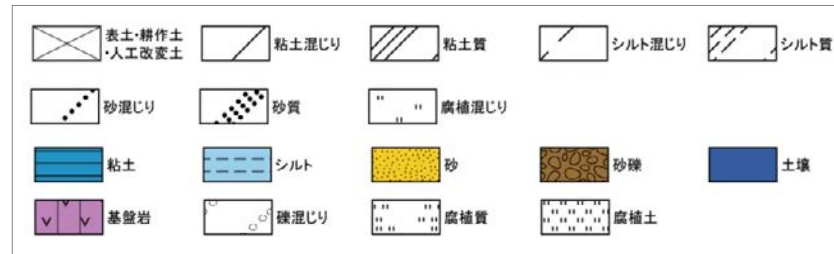


地形面区分図(服部ほか, 2014を編集)

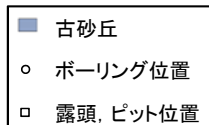


柱状図

凡例



地形面区分図(服部ほか(2014)を編集)
(基図は1961年の空中写真から作成)



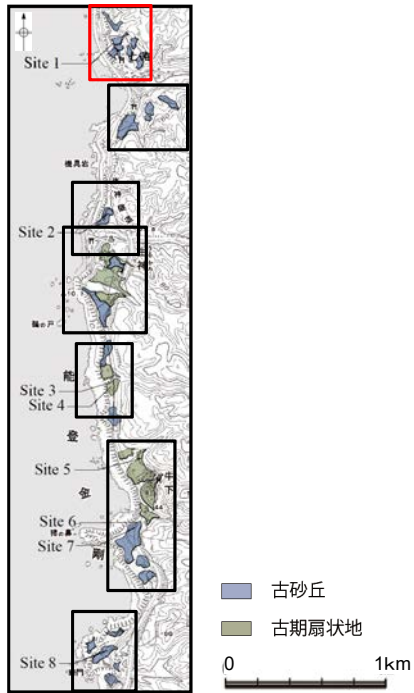
深度(m) ST-N08(孔口標高34.66m, 掘進長6m, 鉛直) 深度(m)



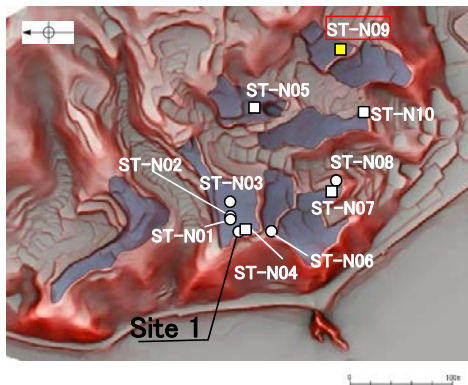
コア写真(深度0~6m)

七海北部 ST-N09(ピット写真・柱状図)

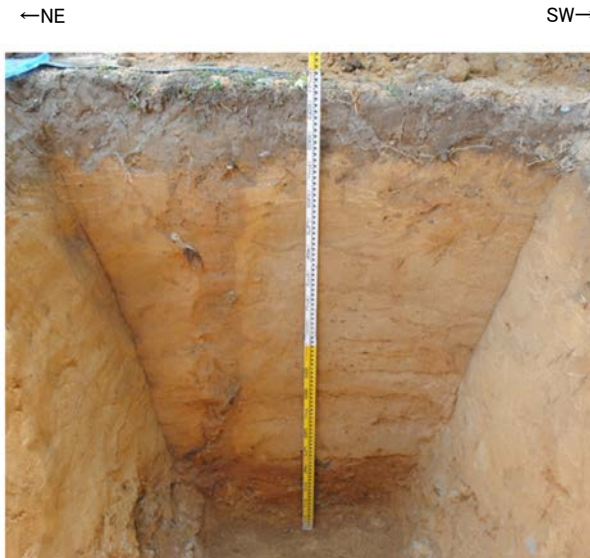
下図拡大範囲



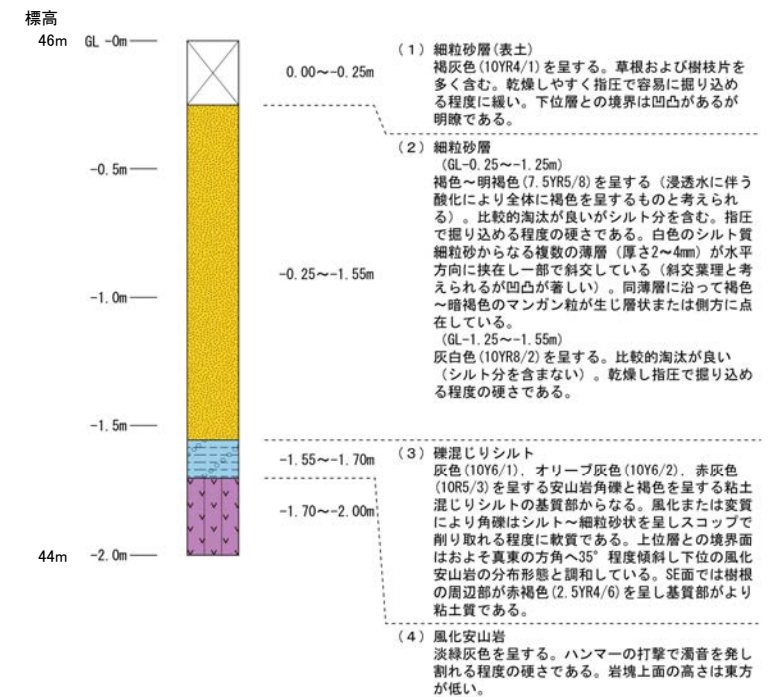
地形面区分図(服部ほか, 2014を編集)



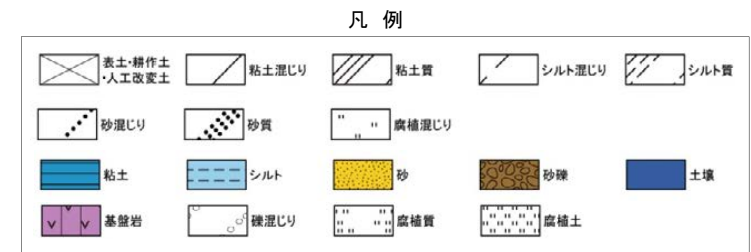
地形面区分図(服部ほか(2014)を編集)
(基図は1961年の空中写真から作成)



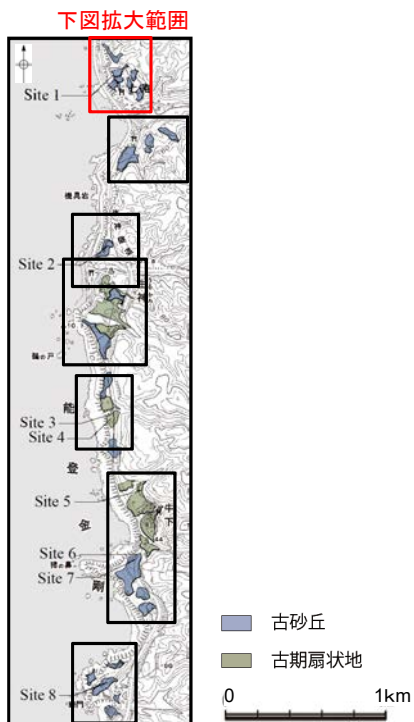
ピット写真(ST-N09)



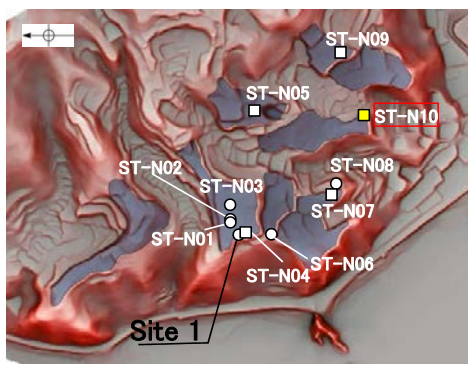
柱状図



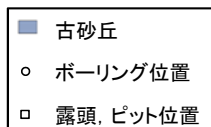
七海北部 ST-N10(露頭写真・柱状図・火山灰分析結果)



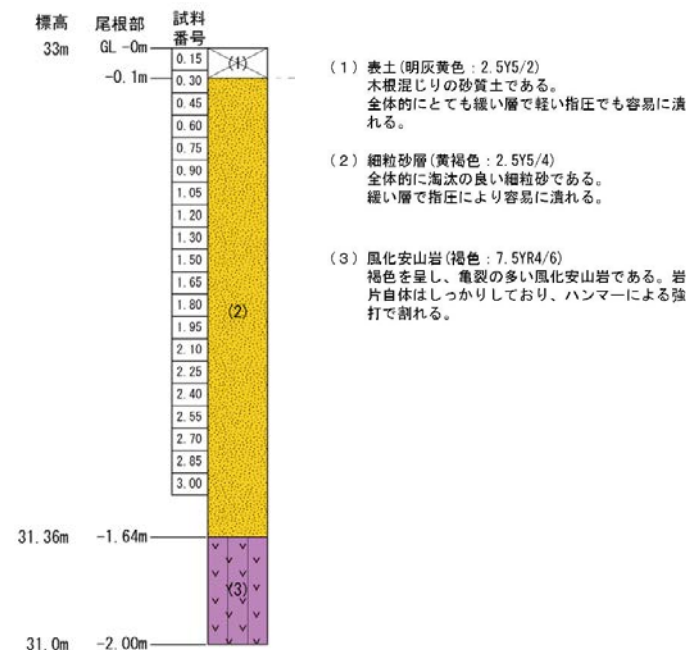
地形面区分図(服部ほか, 2014を編集)



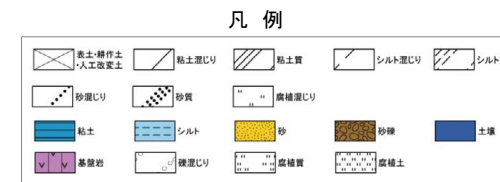
地形面区分図(服部ほか(2014)を編集)
(基図は1961年の空中写真から作成)



露頭写真(ST-N10)



柱状図

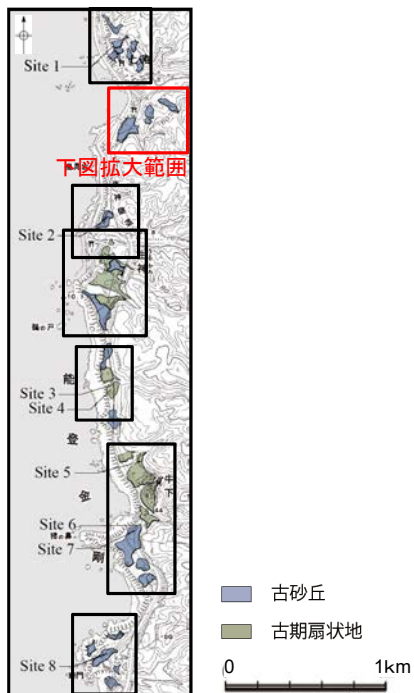


| 試料番号 | テフラ名 | 火山ガラスの形態別含有量 (/3000粒子) | | 重鉱物の含有量 (/3000粒子) | | | β石英 (/3000粒子) | 備考 | 火山ガラスの屈折率 (nd) | |
|------|------|------------------------|-----|-------------------|-----|-----|---------------|----|----------------|-------|
| | | 0.5 | 1.0 | Opx | GHo | Cum | | | 1.500 | 1.510 |
| 0.15 | | | | | | | | | | |
| 0.30 | | | | | | | | | | |
| 0.45 | | | | | | | | | | |
| 0.60 | | | | | | | | | | |
| 0.75 | | | | | | | | | | |
| 0.90 | | | | | | | | | | |
| 1.05 | | | | | | | | | | |
| 1.20 | | | | | | | | | | |
| 1.35 | | | | | | | | | | |
| 1.50 | | | | | | | | | | |
| 1.65 | | | | | | | | | | |
| 1.80 | | | | | | | | | | |
| 1.95 | | | | | | | | | | |
| 2.10 | | | | | | | | | | |
| 2.25 | | | | | | | | | | |
| 2.40 | | | | | | | | | | |
| 2.55 | | | | | | | | | | |
| 2.70 | | | | | | | | | | |
| 2.85 | | | | | | | | | | |
| 3.00 | | | | | | | | | | |



火山灰分析結果

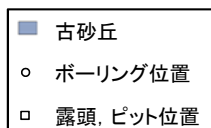
七海南部 ST-S01 (露頭写真・柱状図・火山灰分析結果)



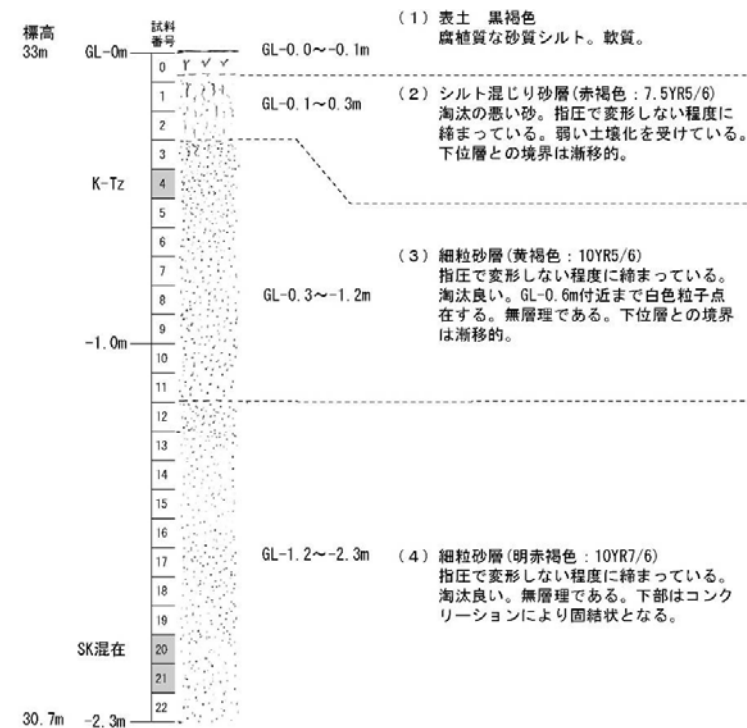
地形面区分図(服部ほか, 2014を編集)



地形面区分図(服部ほか(2014)を編集)
(基図は1961年の空中写真から作成)

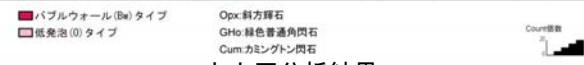


露頭写真(ST-S01)



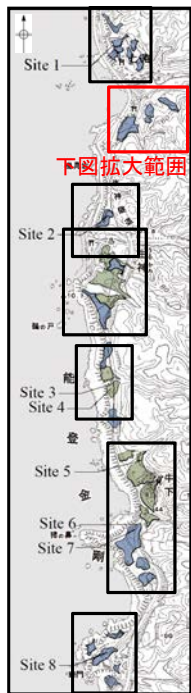
柱状図

| 試料番号 | テフラ名 | 火山ガラスの 形態別含有量 (/3000粒子) 3 6 9 | 重鉱物の含有量 (/3000粒子) | | | β石英 (/3000粒子) 1 2 | 備考 | 火山ガラスの屈折率(nd) | |
|-------|------|--|----------------------|------------|-----|-------------------------|----|---------------|-------|
| | | | Opx 50 100 | GHo 2 4 | Cum | | | 1.500 | 1.510 |
| 0(表土) | | | | | | | | | |
| 1 | | | | | | | | | |
| 2 | | | | | | | | | |
| 3 | | | | | | | | | |
| 4 | K-Tz | | | | | | | | |
| 5 | | | | | | | | | |
| 6 | | | | | | | | | |
| 7 | | | | | | | | | |
| 8 | | | | | | | | | |
| 9 | | | | | | | | | |
| 10 | | | | | | | | | |
| 11 | | | | | | | | | |
| 12 | | | | | | | | | |
| 13 | | | | | | | | | |
| 14 | | | | | | | | | |
| 15 | | | | | | | | | |
| 16 | | | | | | | | | |
| 17 | | | | | | | | | |
| 18 | | | | | | | | | |
| 19 | | | | | | | | | |
| 20 | SK混在 | | | | | | | | |
| 21 | | | | | | | | | |
| 22 | | | | | | | | | |



火山灰分析結果

七海南部 ST-S02(コア写真・柱状図・火山灰分析結果)



下図拡大範囲

ST-S02(孔口標高30.41m, 掘進長6m, 鉛直)

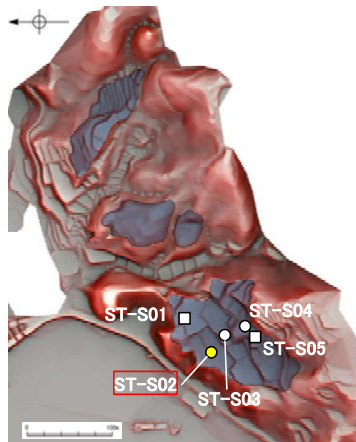


コア写真(深度0~6m)

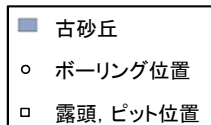
| 深度(m) | 標高 | 火山灰 | 柱状図 | コア観察結果 |
|-------|--------|-----|-----|--|
| 0 | 30.21m | | | 0.0~0.2m 黒褐色 腐植質シルト(表土) |
| 1 | 29.91m | | | 0.2~0.5m 明黄色 砂質シルト(耕作土) |
| 2 | 29.57m | | | 褐色部と灰白色部が不規則に混在し、不均質なシルト。 |
| 3 | 29.10m | | | 0.5~0.84m 明黄色 シルト質砂 |
| 4 | 29.01m | | | 淘汰の悪い細粒砂。径2mm程度の黒色斑が点在する。不明瞭な灰白色部が波曲した層状をなす。 |
| 5 | 28.94m | | | 0.84~1.31m 淡黄色 シルト混じり砂 |
| 6 | 27.41m | | | やや淘汰の悪い細粒砂。全体に黒色斑が散在する。1.22m以深は、酸化している。 |
| | | | | 1.31~1.40m 明黄色 シルト質砂 |
| | | | | 淘汰悪く、下位ほどシルト分多い。著しく酸化している。 |
| | | | | 1.40~1.47m 灰白色 シルト |
| | | | | やや砂質である。指圧で変形する。粘性がある。 |
| | | | | 1.47~3.00m 明黄色 風化凝灰角礫岩 |
| | | | | 安山岩質の凝灰角礫岩。風化により基質は、ツメで傷がつく程度の硬さで、一部粘土化している。礫は、径2~250mm以上の多様な色調を呈する安山岩歪角~角礫からなり、やや軟質化している。 |
| | | | | 3.00~6.00m 暗青灰色 安山岩質凝灰角礫岩 |
| | | | | ハンマーの打撃で容易に砕けない。3.4m付近までは割れ目が多く、割れ面が酸化している。径100~200mm以上の暗青灰色の安山岩礫とそれを充填する径2~40mmの多様な色調の安山岩礫よりなる。 |

柱状図

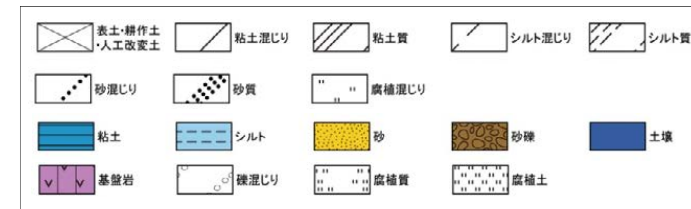
地形面区分図(服部ほか, 2014を編集)



地形面区分図(服部ほか(2014)を編集)
(基図は1961年の空中写真から作成)



凡例

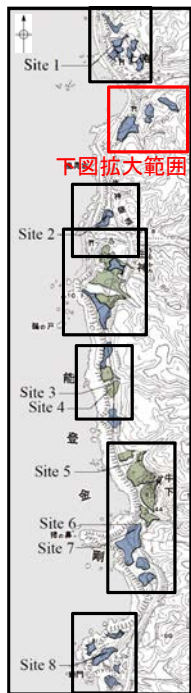


| 試料番号 | テフラ名 | 火山ガラスの形態別含有量 (/3000粒子) | 重鉱物の含有量 (/3000粒子) | | | β石英 (/3000粒子) | 備考 | 火山ガラスの屈折率 (nd) | |
|-----------|------|------------------------|-------------------|-----|-----|---------------|----|----------------|-------|
| | | | Opx | GHo | Cum | | | 1.500 | 1.510 |
| 0.50-0.60 | | | | | | | | | |
| 0.60-0.70 | | | | | | | | | |
| 0.70-0.80 | | | | | | | | | |
| 0.80-0.90 | | | | | | | | | |
| 0.90-1.00 | | | | | | | | | |
| 1.00-1.10 | | | | | | | | | |
| 1.10-1.20 | | | | | | | | | |
| 1.20-1.30 | | | | | | | | | |
| 1.30-1.40 | | | | | | | | | |
| 1.40-1.47 | | | | | | | | | |

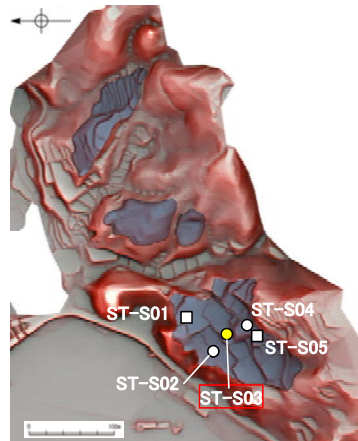
火山灰分析結果



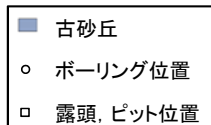
七海南部 ST-S03(コア写真・柱状図・火山灰分析結果)



地形面区分図(服部ほか, 2014を編集)



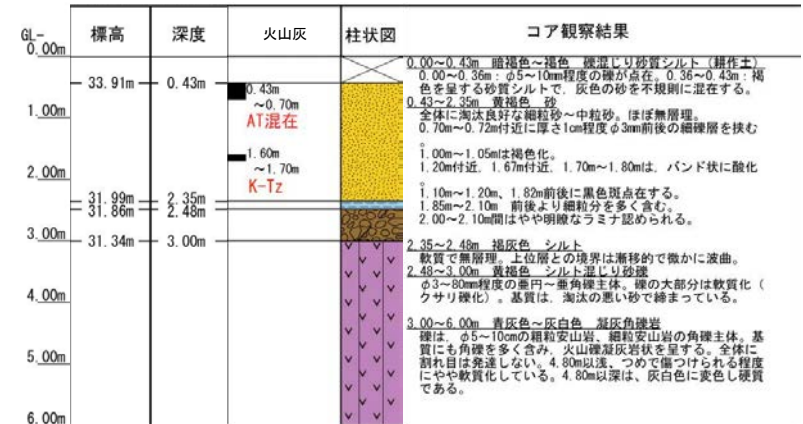
地形面区分図(服部ほか(2014)を編集)
(基図は1961年の空中写真から作成)



深度(m) ST-S03(孔口標高34.34m, 掘進長6m, 鉛直) 深度(m)

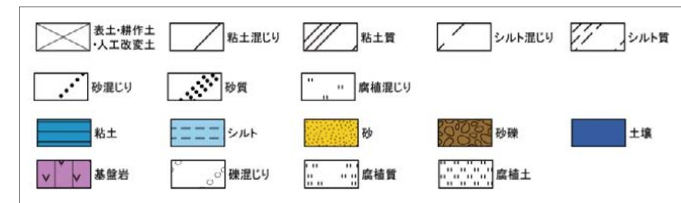


コア写真(深度0~6m)

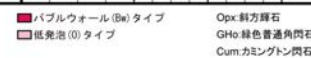


柱状図

凡例

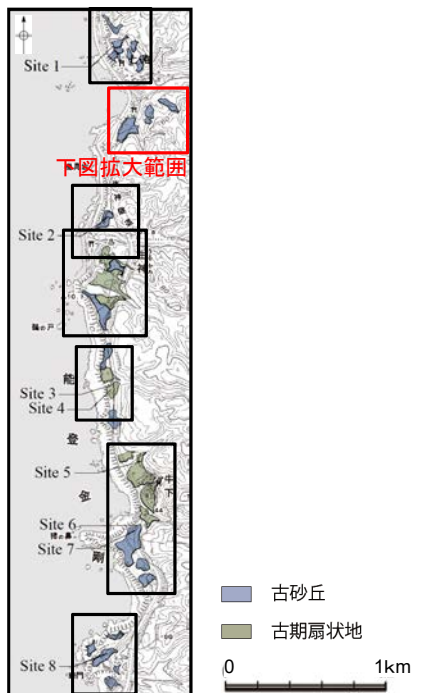


| 試料番号 | テフラ名 | 火山ガラスの形態別含有量 (/3000粒子) | | 重鉱物の含有量 (/3000粒子) | | | β石英 (/3000粒子) | 備考 | 火山ガラスの屈折率 (nd) | |
|-----------|------|------------------------|-----|-------------------|-----|-----|---------------|----|----------------|----|
| | | 50 | 100 | 50 | 100 | 150 | | | 5 | 10 |
| 0.43-0.50 | AT混在 | 50 | 100 | 50 | 100 | 150 | | | | |
| 0.50-0.60 | | 50 | 100 | 50 | 100 | 150 | | | | |
| 0.60-0.70 | | 50 | 100 | 50 | 100 | 150 | | | | |
| 0.70-0.80 | | 50 | 100 | 50 | 100 | 150 | | | | |
| 0.80-0.90 | | 50 | 100 | 50 | 100 | 150 | | | | |
| 0.90-1.00 | | 50 | 100 | 50 | 100 | 150 | | | | |
| 1.00-1.10 | | 50 | 100 | 50 | 100 | 150 | | | | |
| 1.10-1.20 | | 50 | 100 | 50 | 100 | 150 | | | | |
| 1.20-1.30 | | 50 | 100 | 50 | 100 | 150 | | | | |
| 1.30-1.40 | | 50 | 100 | 50 | 100 | 150 | | | | |
| 1.40-1.50 | K-Tz | 50 | 100 | 50 | 100 | 150 | | | | |
| 1.50-1.60 | | 50 | 100 | 50 | 100 | 150 | | | | |
| 1.60-1.70 | | 50 | 100 | 50 | 100 | 150 | | | | |
| 1.70-1.80 | | 50 | 100 | 50 | 100 | 150 | | | | |
| 1.80-1.90 | | 50 | 100 | 50 | 100 | 150 | | | | |
| 1.90-2.00 | | 50 | 100 | 50 | 100 | 150 | | | | |
| 2.00-2.10 | | 50 | 100 | 50 | 100 | 150 | | | | |
| 2.10-2.20 | | 50 | 100 | 50 | 100 | 150 | | | | |
| 2.20-2.35 | | 50 | 100 | 50 | 100 | 150 | | | | |
| 2.35-2.48 | | 50 | 100 | 50 | 100 | 150 | | | | |

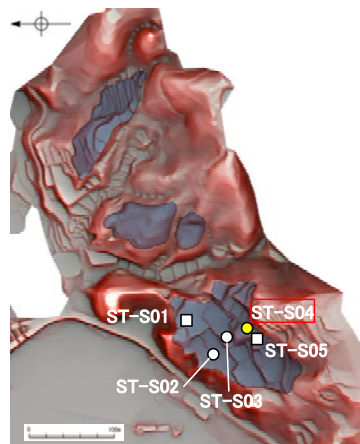


火山灰分析結果

七海南部 ST-S04(コア写真・柱状図)



地形面区分図(服部ほか, 2014を編集)



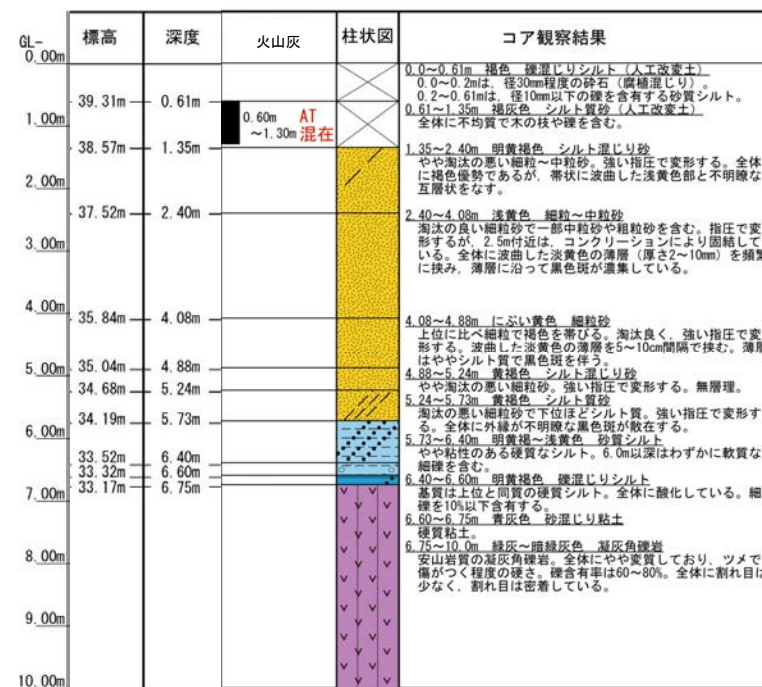
地形面区分図(服部ほか(2014)を編集)
(基図は1961年の空中写真から作成)

- 古砂丘
- ボーリング位置
- 露頭, ピット位置

深度(m) ST-S04孔(孔口標高39.92m, 掘進長10m, 鉛直) 深度(m)

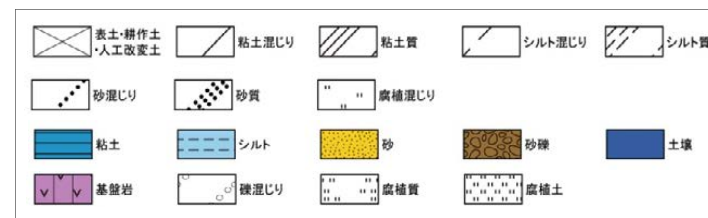


コア写真(深度0~10m)



柱状図

凡例



七海南部 ST-S04(火山灰分析結果)

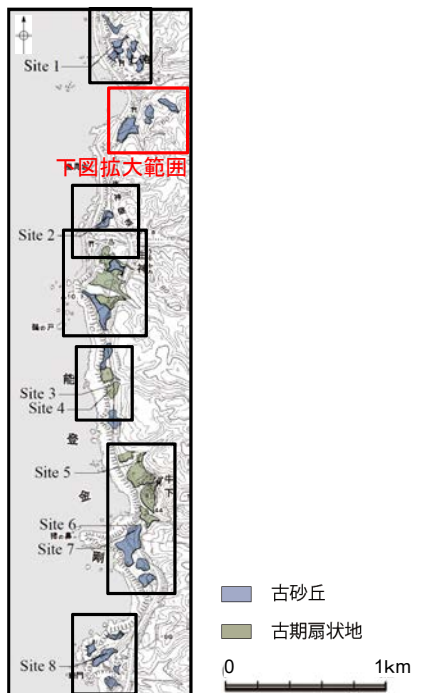
| 試料番号 | テフラ名 | 火山ガラスの 形態別含有量 (/3000粒子) | 重鉱物の含有量 (/3000粒子) | | | β石英 (/3000粒子) | 備考 | 火山ガラスの屈折率 (nd) | |
|-----------|------|-------------------------------|----------------------|------------|---------|------------------|----|----------------|-------|
| | | | Opx | GHo | Cum | | | 1.500 | 1.510 |
| | | | 10 20 30 40 | 50 100 150 | 5 10 15 | | | 0.5 1.0 1.5 | |
| 0.00-0.10 | | | | | | | | | |
| 0.10-0.20 | | | | | | | | | |
| 0.20-0.30 | | | | | | | | | |
| 0.30-0.40 | | | | | | | | | |
| 0.40-0.50 | | | | | | | | | |
| 0.50-0.60 | | | | | | | | | |
| 0.60-0.70 | | | | | | | | | |
| 0.70-0.80 | | | | | | | | | |
| 0.80-0.90 | | | | | | | | | |
| 0.90-1.00 | AT混在 | | | | | | | | |
| 1.00-1.10 | | | | | | | | | |
| 1.10-1.20 | | | | | | | | | |
| 1.20-1.30 | | | | | | | | | |
| 1.30-1.40 | | | | | | | | | |
| 1.40-1.50 | | | | | | | | | |
| 1.50-1.60 | | | | | | | | | |
| 1.60-1.70 | | | | | | | | | |
| 1.70-1.80 | | | | | | | | | |
| 1.80-1.90 | | | | | | | | | |
| 1.90-2.00 | | | | | | | | | |
| 2.00-2.10 | | | | | | | | | |
| 2.10-2.20 | | | | | | | | | |
| 2.20-2.30 | | | | | | | | | |
| 2.30-2.40 | | | | | | | | | |
| 2.40-2.50 | | | | | | | | | |
| 2.50-2.60 | | | | | | | | | |
| 2.60-2.70 | | | | | | | | | |
| 2.70-2.80 | | | | | | | | | |
| 2.80-2.90 | | | | | | | | | |
| 2.90-3.00 | | | | | | | | | |
| 3.00-3.10 | | | | | | | | | |
| 3.10-3.20 | | | | | | | | | |
| 3.20-3.30 | | | | | | | | | |
| 3.30-3.40 | | | | | | | | | |
| 3.40-3.50 | | | | | | | | | |
| 3.50-3.60 | | | | | | | | | |
| 3.60-3.70 | | | | | | | | | |
| 3.70-3.80 | | | | | | | | | |
| 3.80-3.90 | | | | | | | | | |
| 3.90-4.00 | | | | | | | | | |
| 4.00-4.10 | | | | | | | | | |
| 4.10-4.20 | | | | | | | | | |
| 4.20-4.30 | | | | | | | | | |
| 4.30-4.40 | | | | | | | | | |
| 4.40-4.50 | | | | | | | | | |
| 4.50-4.60 | | | | | | | | | |
| 4.60-4.70 | | | | | | | | | |
| 4.70-4.80 | | | | | | | | | |
| 4.80-4.88 | | | | | | | | | |
| 4.88-5.00 | | | | | | | | | |
| 5.00-5.10 | | | | | | | | | |
| 5.10-5.24 | | | | | | | | | |
| 5.24-5.35 | | | | | | | | | |
| 5.35-5.45 | | | | | | | | | |
| 5.45-5.55 | | | | | | | | | |
| 5.55-5.65 | | | | | | | | | |
| 5.65-5.73 | | | | | | | | | |
| 5.73-5.80 | | | | | | | | | |
| 5.80-5.90 | | | | | | | | | |
| 5.90-6.00 | | | | | | | | | |
| 6.00-6.10 | | | | | | | | | |
| 6.10-6.20 | | | | | | | | | |
| 6.20-6.30 | | | | | | | | | |
| 6.30-6.40 | | | | | | | | | |
| 6.40-6.50 | | | | | | | | | |
| 6.50-6.60 | | | | | | | | | |
| 6.60-6.70 | | | | | | | | | |
| 6.70-6.80 | | | | | | | | | |

■ バブルウォール(Bw)タイプ

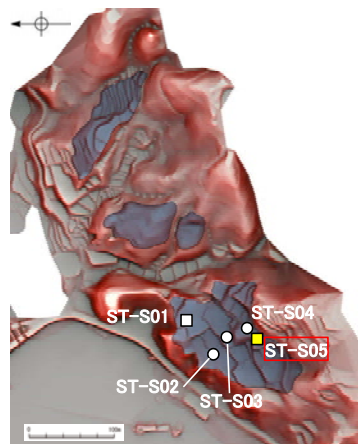
Opx:斜方輝石
GHo:緑色普通角閃石
Cum:カミントン閃石

Count値

七海南部 ST-S05(露頭写真・柱状図)



地形面区分図(服部ほか, 2014を編集)



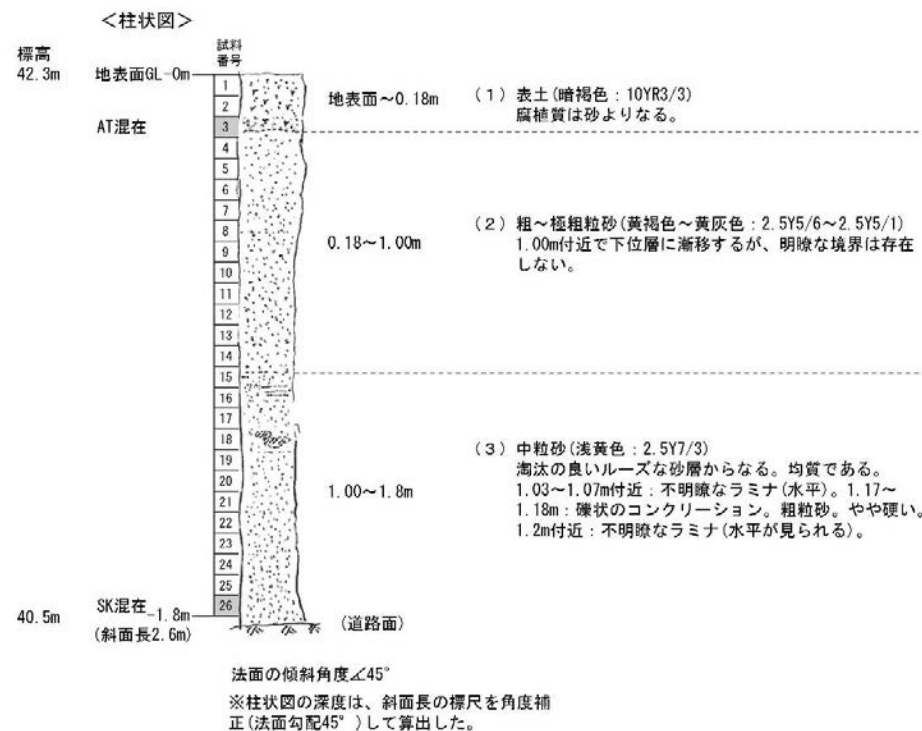
地形面区分図(服部ほか(2014)を編集)
(基図は1961年の空中写真から作成)

- 古砂丘
- ボーリング位置
- 露頭, ピット位置

←SW NE→

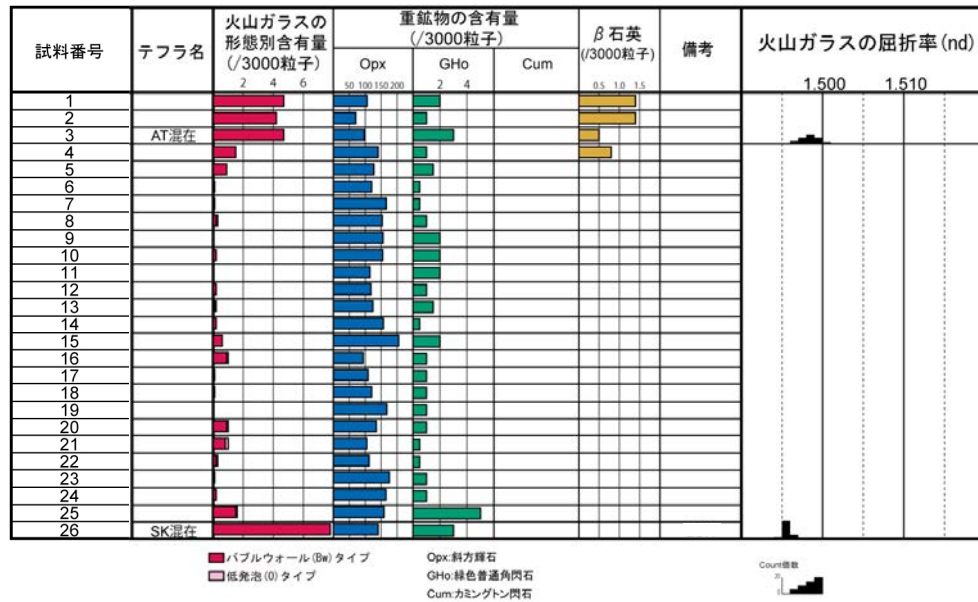


露頭写真(ST-S05)

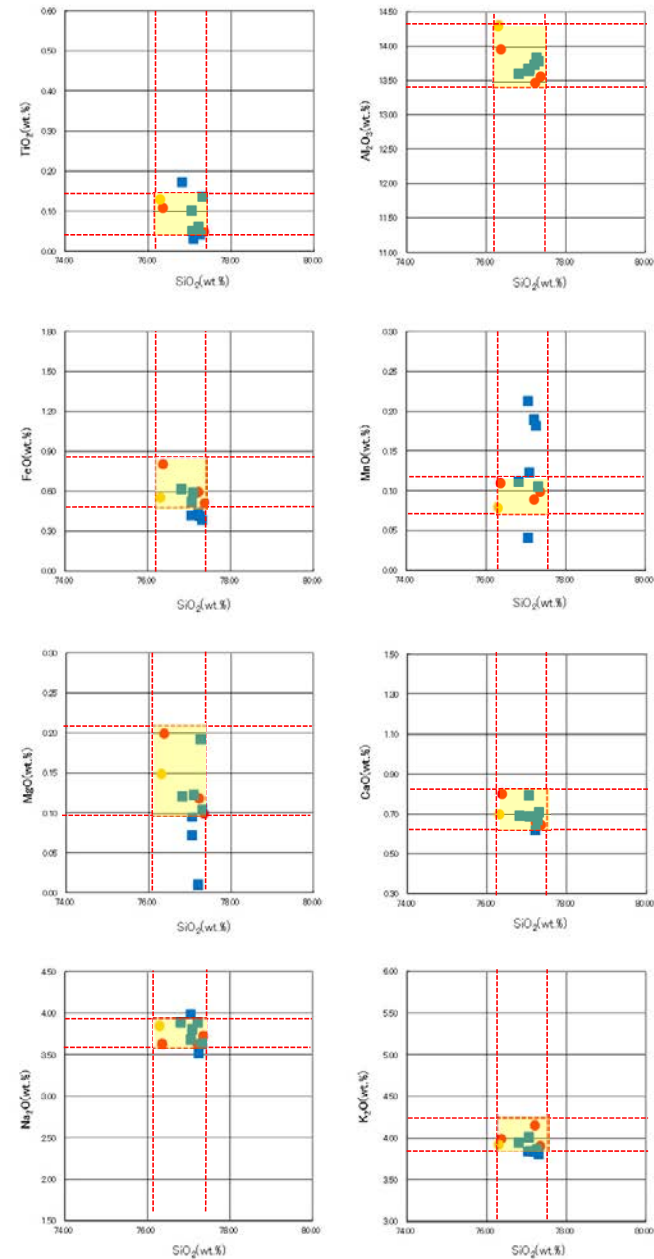


柱状図

七海南部 ST-S05(火山灰分析結果)



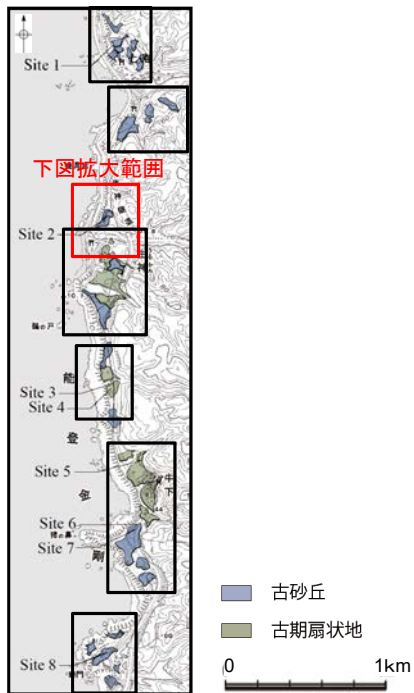
火山灰分析結果



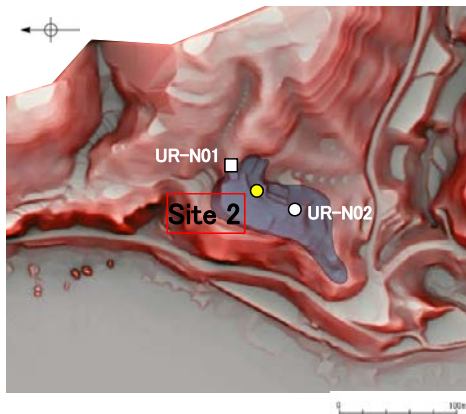
火山ガラスの主成分分析結果: 試料番号26

- 試料番号26におけるSKの火山ガラス
- 文献によるSKの分布範囲
- 青木・町田(2006)におけるSKに含まれる火山ガラス(採取地:鳥取, 島根, 山形)
- 長橋ほか(2007)におけるSKに含まれる火山ガラス(採取地:島根)

生神北部 Site 2(コア写真・柱状図)



地形面区分図(服部ほか, 2014を編集)



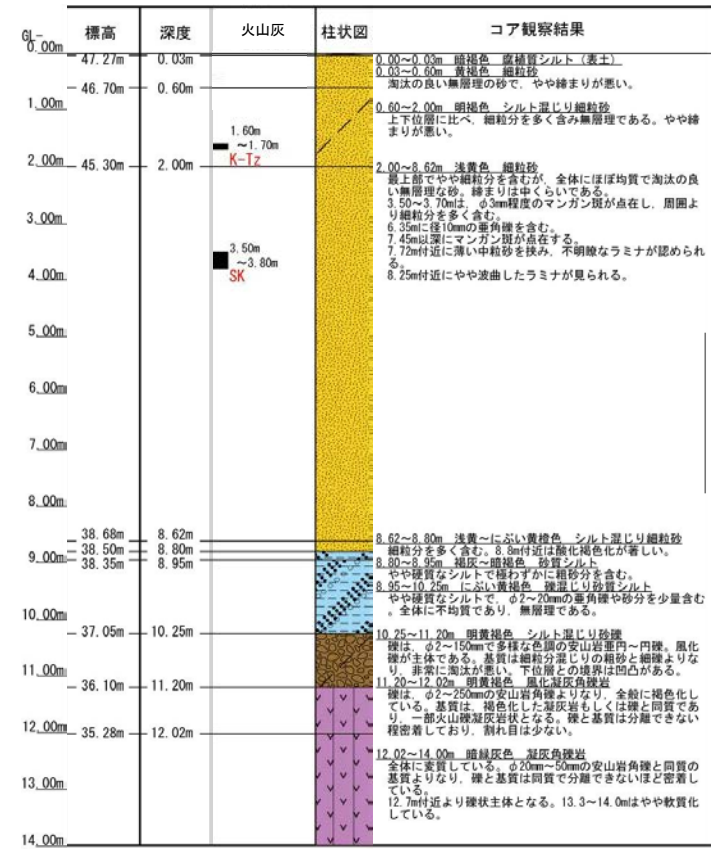
地形面区分図(服部ほか(2014)を編集)
(基図は1961年の空中写真から作成)

- 古砂丘
- ボーリング位置
- 露頭, ピット位置

Site 2 (孔口標高47.30m, 掘進長14m, 鉛直)

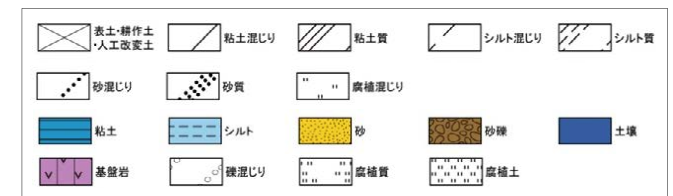


コア写真(深度0~14m)

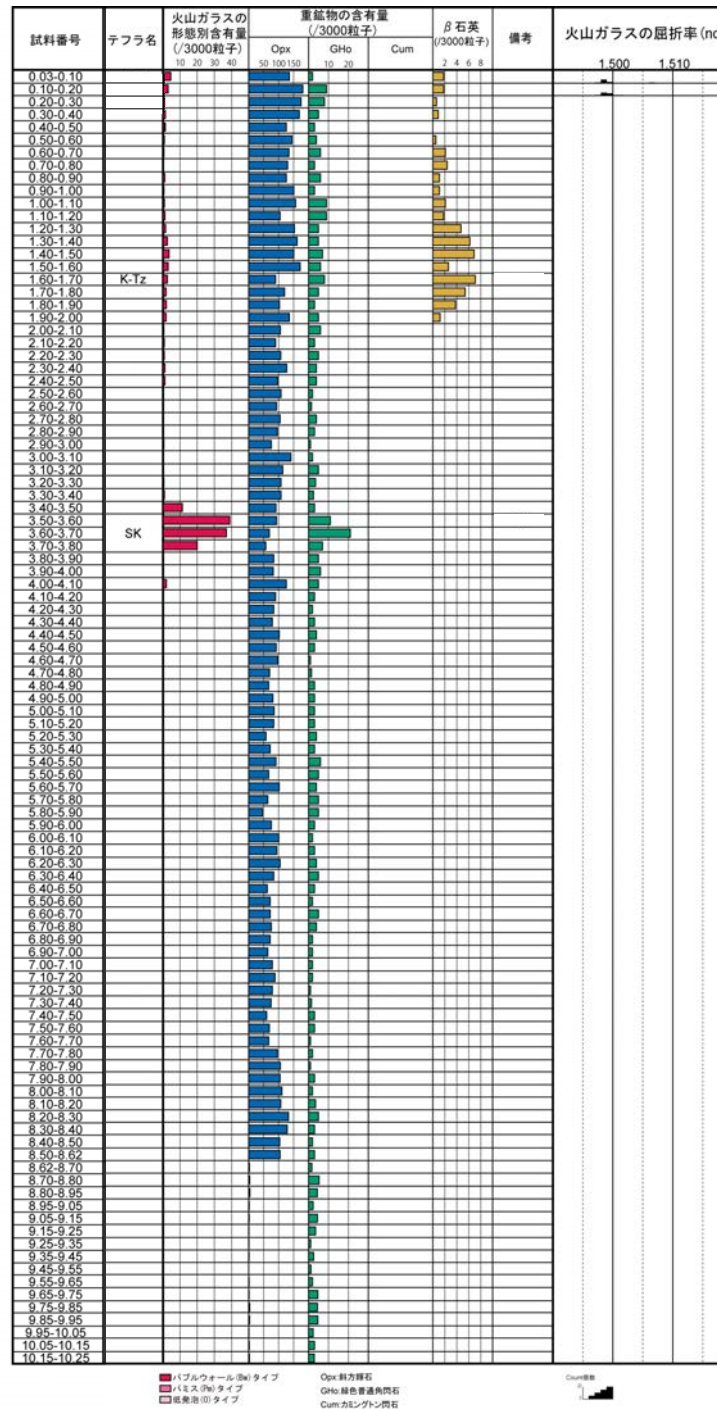


柱状図

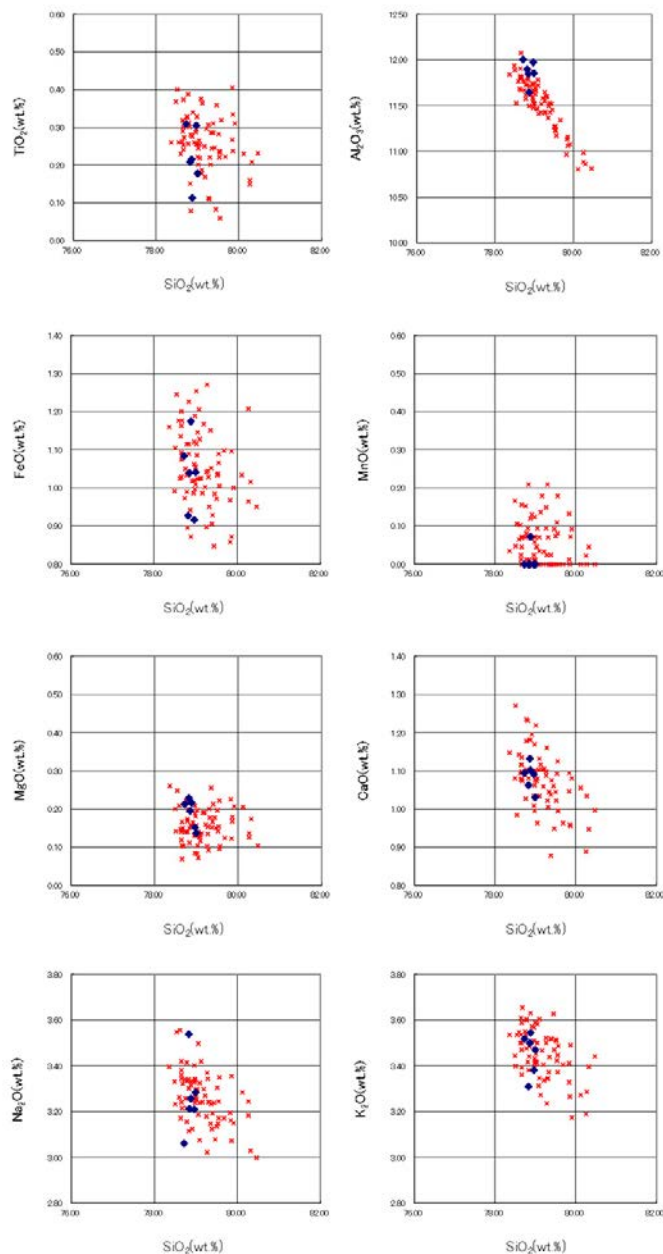
凡例



生神北部 Site 2(火山灰分析結果①)

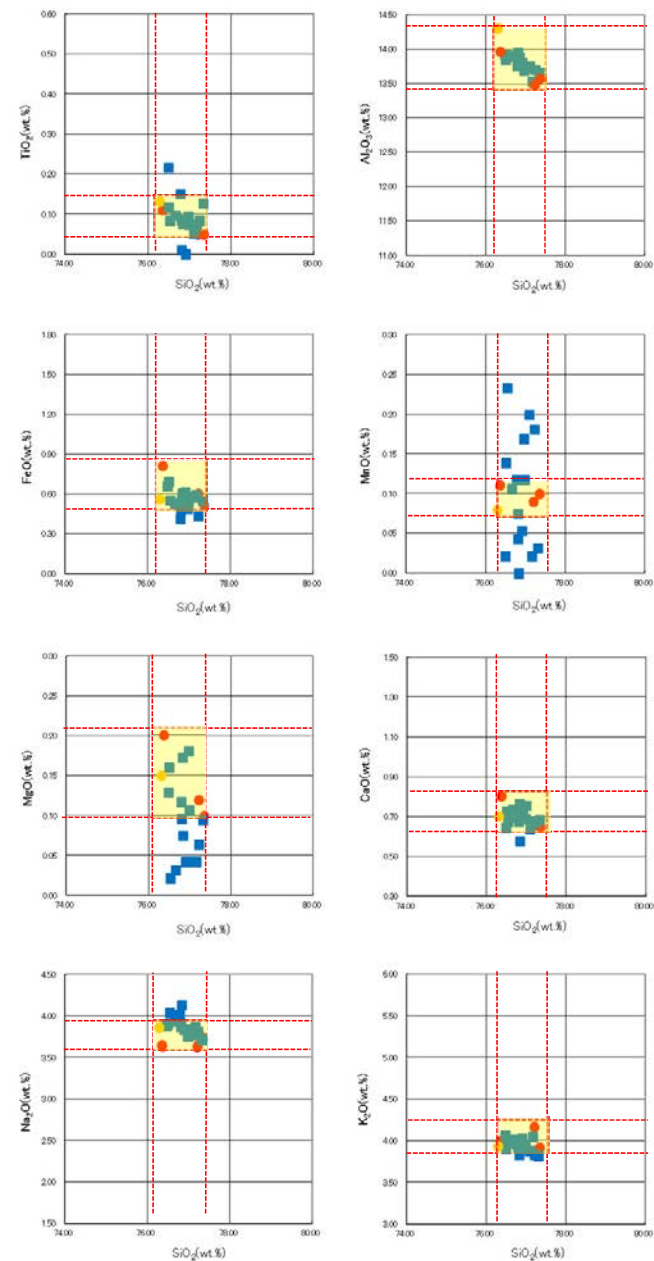


生神北部 Site 2(火山灰分析結果②)



火山ガラスの主成分分析結果: 試料番号1.60-1.70

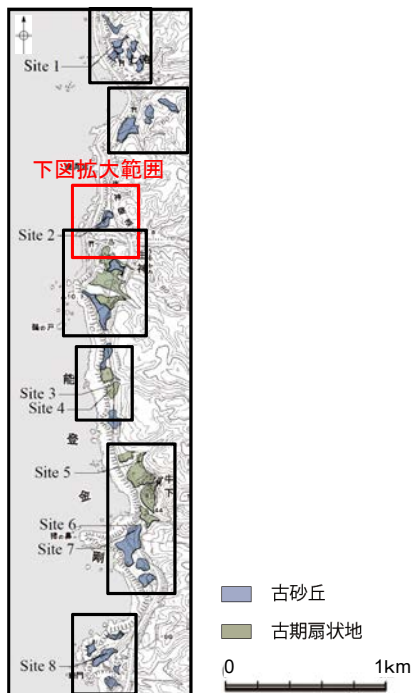
- ◆ 試料番号1.60-1.70におけるK-TzIに含まれるβ石英中のガラス包有物の主成分
- ★ 古澤・中村(2009)におけるK-TzIに含まれるβ石英中のガラス包有物の主成分



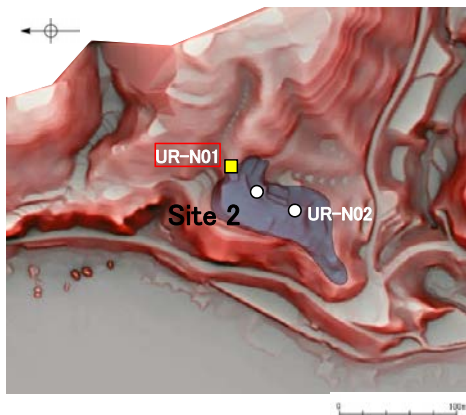
火山ガラスの主成分分析結果: 試料番号3.50-3.60

- 試料番号3.50-3.60におけるSKの火山ガラス
- 文献によるSKの分布範囲
- 青木・町田(2006)におけるSKに含まれる火山ガラス(採取地:鳥取, 島根, 山形)
- 長橋ほか(2007)におけるSKに含まれる火山ガラス(採取地:島根)

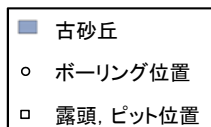
生神北部 UR-N01 (露頭写真・スケッチ・柱状図)



地形面区分図(服部ほか, 2014を編集)



地形面区分図(服部ほか(2014)を編集)
(基図は1961年の空中写真から作成)



←N S→

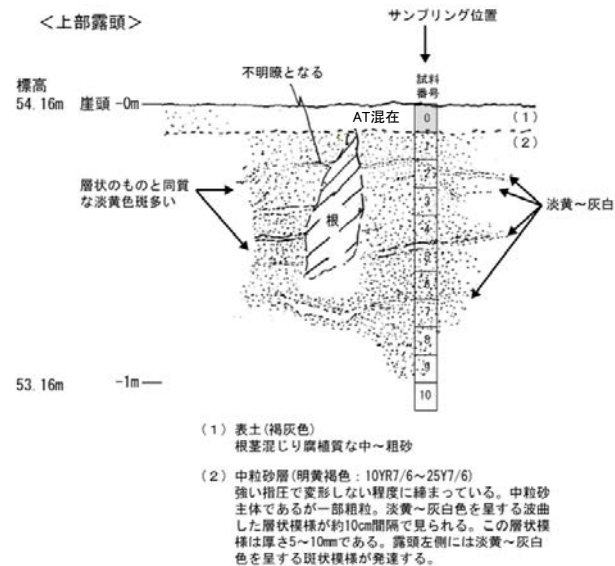


上部露頭写真(UR-N01)

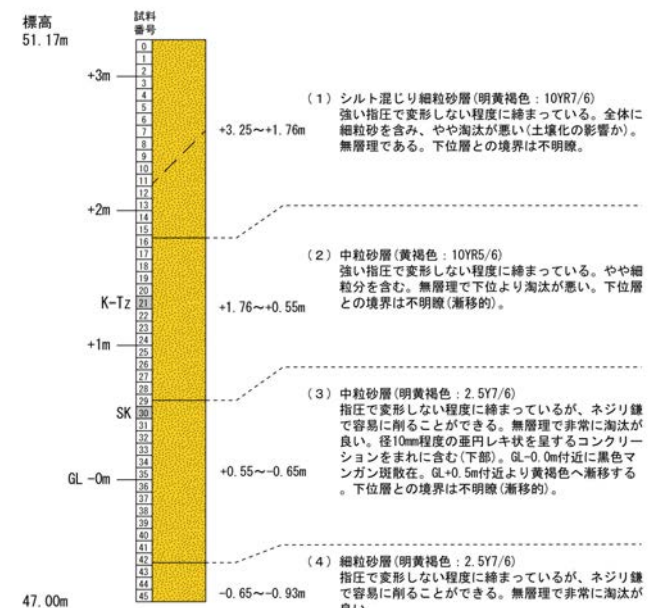
←N S→



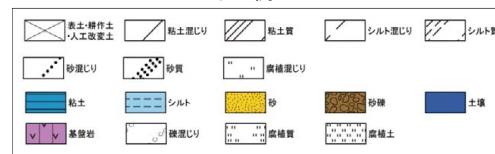
下部露頭写真(UR-N01)



<下部露頭>



凡例



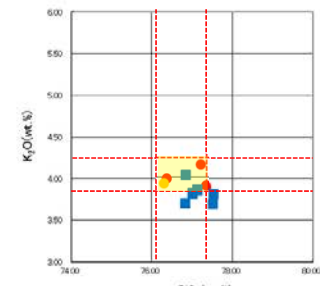
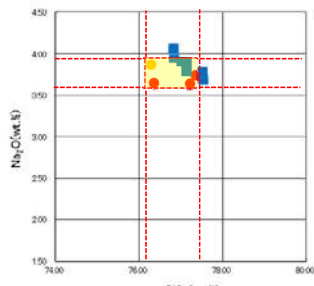
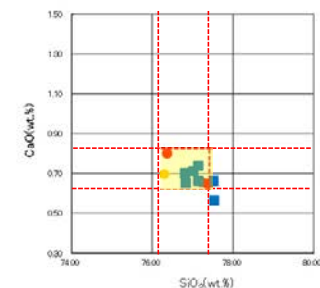
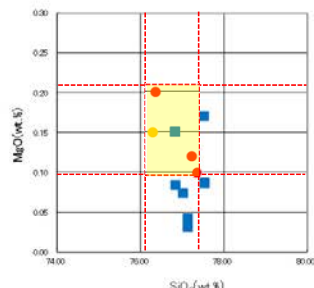
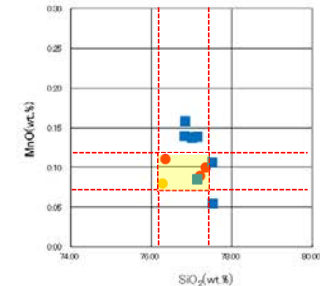
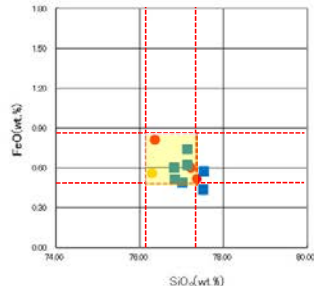
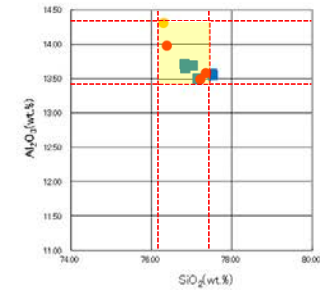
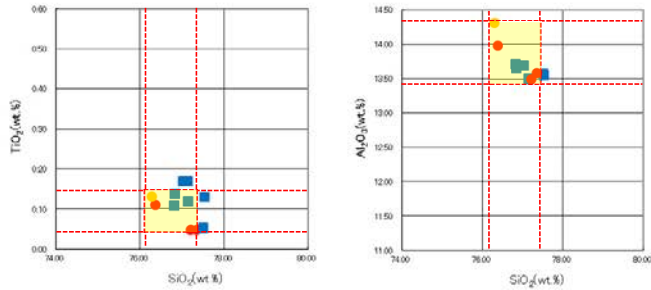
スケッチ, 柱状図

生神北部 UR-N01 (火山灰分析結果)

<上部露頭>

| 試料番号 | テフラ名 | 火山ガラスの形態別含有量 (/3000粒子) | 重鉱物の含有量 (/3000粒子) | | | β石英 (/3000粒子) | 備考 | 火山ガラスの屈折率 (nd) | |
|------|------|------------------------|-------------------|-----|-----|---------------|----|----------------|-------|
| | | | Opx | GHo | Cum | | | 1.500 | 1.510 |
| 0表土 | AT混在 | | | | | | | | |
| 1 | | | | | | | | | |
| 2 | | | | | | | | | |
| 3 | | | | | | | | | |
| 4 | | | | | | | | | |
| 5 | | | | | | | | | |
| 6 | | | | | | | | | |
| 7 | | | | | | | | | |
| 8 | | | | | | | | | |
| 9 | | | | | | | | | |
| 10上 | | | | | | | | | |

■ バブルウォール(Bw)タイプ
■ ハミス(Pm)タイプ
■ 低発泡(O)タイプ
■ Opx:斜方輝石
■ GHo:緑色普通角閃石
■ Cum:カニングトン閃石



- 試料番号30におけるSKの火山ガラス
- 文献によるSKの分布範囲
- 青木・町田(2006)におけるSKに含まれる火山ガラス(採取地:鳥取, 島根, 山形)
- 長橋ほか(2007)におけるSKに含まれる火山ガラス(採取地:鳥根)

火山ガラスの主成分分析結果: 下部露頭 試料番号30

<下部露頭>

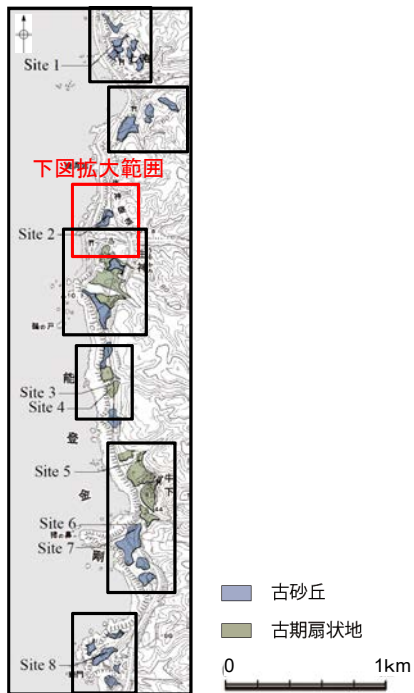
| 試料番号 | テフラ名 | 火山ガラスの形態別含有量 (/3000粒子) | 重鉱物の含有量 (/3000粒子) | | | β石英 (/3000粒子) | 備考 | 火山ガラスの屈折率 (nd) | |
|------|------|------------------------|-------------------|-----|-----|---------------|----|----------------|-------|
| | | | Opx | GHo | Cum | | | 1.500 | 1.510 |
| 0 | | | | | | | | | |
| 1 | | | | | | | | | |
| 2 | | | | | | | | | |
| 3 | | | | | | | | | |
| 4 | | | | | | | | | |
| 5 | | | | | | | | | |
| 6 | | | | | | | | | |
| 7 | | | | | | | | | |
| 8 | | | | | | | | | |
| 9 | | | | | | | | | |
| 10 | | | | | | | | | |
| 11 | | | | | | | | | |
| 12 | | | | | | | | | |
| 13 | | | | | | | | | |
| 14 | | | | | | | | | |
| 15 | | | | | | | | | |
| 16 | | | | | | | | | |
| 17 | | | | | | | | | |
| 18 | | | | | | | | | |
| 19 | | | | | | | | | |
| 20 | | | | | | | | | |
| 21 | | | | | | | | | |
| 22 | K-Tz | | | | | | | | |
| 23 | | | | | | | | | |
| 24 | | | | | | | | | |
| 25 | | | | | | | | | |
| 26 | | | | | | | | | |
| 27 | | | | | | | | | |
| 28 | | | | | | | | | |
| 29 | | | | | | | | | |
| 30 | SK | | | | | | | | |
| 31 | | | | | | | | | |
| 32 | | | | | | | | | |
| 33 | | | | | | | | | |
| 34 | | | | | | | | | |
| 35 | | | | | | | | | |
| 36 | | | | | | | | | |
| 37 | | | | | | | | | |
| 38 | | | | | | | | | |
| 39 | | | | | | | | | |
| 40 | | | | | | | | | |
| 41 | | | | | | | | | |
| 42 | | | | | | | | | |
| 43 | | | | | | | | | |
| 44 | | | | | | | | | |
| 45 | | | | | | | | | |

■ バブルウォール(Bw)タイプ
■ ハミス(Pm)タイプ
■ 低発泡(O)タイプ
■ Opx:斜方輝石
■ GHo:緑色普通角閃石
■ Cum:カニングトン閃石

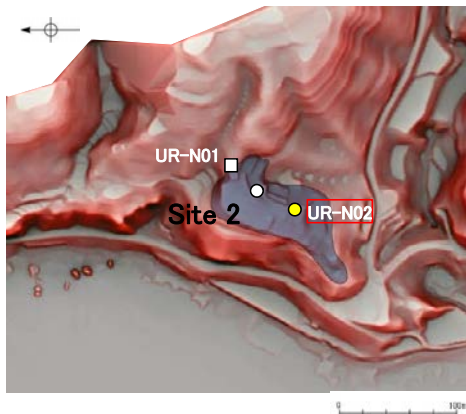


火山灰分析結果

生神北部 UR-N02(コア写真・柱状図)



地形面区分図(服部ほか, 2014を編集)



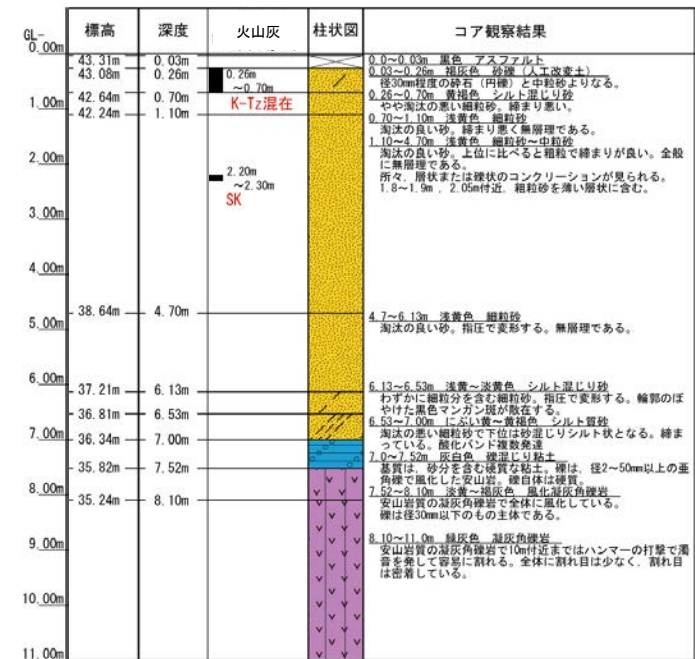
地形面区分図(服部ほか(2014)を編集)
(基図は1961年の空中写真から作成)

- 古砂丘
- ボーリング位置
- 露頭, ピット位置

UR-N02(孔口標高43.34m, 掘進長11m, 鉛直)

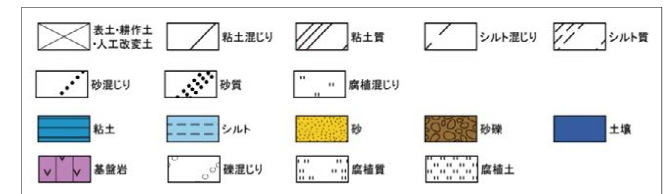


コア写真(深度0~11m)



柱状図

凡例



生神北部 UR-N02(火山灰分析結果)

| 試料番号 | テフラ名 | 火山ガラスの 形態別含有量 (/3000粒子) | 重鉱物の含有量 (/3000粒子) | | | β石英 (/3000粒子) | 備考 | 火山ガラスの屈折率(nd) | |
|-----------|--------|-------------------------------|----------------------|----------------|-----|------------------|----|---------------|-------|
| | | | Opx 50 100 150 | GHo 5 10 15 | Cum | | | 1.500 | 1.510 |
| 0.26-0.40 | | | | | | | | | |
| 0.40-0.50 | K-Tz混在 | | | | | | | | |
| 0.50-0.60 | | | | | | | | | |
| 0.60-0.70 | | | | | | | | | |
| 0.70-0.80 | | | | | | | | | |
| 0.80-0.90 | | | | | | | | | |
| 0.90-1.00 | | | | | | | | | |
| 1.00-1.10 | | | | | | | | | |
| 1.10-1.20 | | | | | | | | | |
| 1.20-1.30 | | | | | | | | | |
| 1.30-1.40 | | | | | | | | | |
| 1.40-1.50 | | | | | | | | | |
| 1.50-1.60 | | | | | | | | | |
| 1.60-1.70 | | | | | | | | | |
| 1.70-1.80 | | | | | | | | | |
| 1.80-1.90 | | | | | | | | | |
| 1.90-2.00 | | | | | | | | | |
| 2.00-2.10 | | | | | | | | | |
| 2.10-2.20 | | | | | | | | | |
| 2.20-2.30 | SK | | | | | | | | |
| 2.30-2.40 | | | | | | | | | |
| 2.40-2.50 | | | | | | | | | |
| 2.50-2.60 | | | | | | | | | |
| 2.60-2.70 | | | | | | | | | |
| 2.70-2.80 | | | | | | | | | |
| 2.80-2.90 | | | | | | | | | |
| 2.90-3.00 | | | | | | | | | |
| 3.00-3.10 | | | | | | | | | |
| 3.10-3.20 | | | | | | | | | |
| 3.20-3.30 | | | | | | | | | |
| 3.30-3.40 | | | | | | | | | |
| 3.40-3.50 | | | | | | | | | |
| 3.50-3.60 | | | | | | | | | |
| 3.60-3.70 | | | | | | | | | |
| 3.70-3.80 | | | | | | | | | |
| 3.80-3.90 | | | | | | | | | |
| 3.90-4.00 | | | | | | | | | |
| 4.00-4.10 | | | | | | | | | |
| 4.10-4.20 | | | | | | | | | |
| 4.20-4.30 | | | | | | | | | |
| 4.30-4.40 | | | | | | | | | |
| 4.40-4.50 | | | | | | | | | |
| 4.50-4.60 | | | | | | | | | |
| 4.60-4.70 | | | | | | | | | |
| 4.70-4.80 | | | | | | | | | |
| 4.80-4.90 | | | | | | | | | |
| 4.90-5.00 | | | | | | | | | |
| 5.00-5.10 | | | | | | | | | |
| 5.10-5.20 | | | | | | | | | |
| 5.20-5.30 | | | | | | | | | |
| 5.30-5.40 | | | | | | | | | |
| 5.40-5.50 | | | | | | | | | |
| 5.50-5.60 | | | | | | | | | |
| 5.60-5.70 | | | | | | | | | |
| 5.70-5.80 | | | | | | | | | |
| 5.80-5.90 | | | | | | | | | |
| 5.90-6.00 | | | | | | | | | |
| 6.00-6.13 | | | | | | | | | |
| 6.13-6.20 | | | | | | | | | |
| 6.20-6.30 | | | | | | | | | |
| 6.30-6.40 | | | | | | | | | |
| 6.40-6.53 | | | | | | | | | |
| 6.53-6.60 | | | | | | | | | |
| 6.60-6.70 | | | | | | | | | |
| 6.70-6.80 | | | | | | | | | |
| 6.80-6.90 | | | | | | | | | |
| 6.90-7.00 | | | | | | | | | |
| 7.00-7.10 | | | | | | | | | |
| 7.10-7.20 | | | | | | | | | |
| 7.20-7.30 | | | | | | | | | |
| 7.30-7.40 | | | | | | | | | |
| 7.40-7.52 | | | | | | | | | |

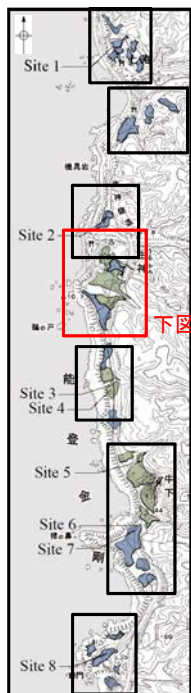
■ バブルウォール(Bw)タイプ
□ 低発泡(O)タイプ

Opx:斜方輝石
GHo:緑色普通角閃石
Cum:カミングトン閃石

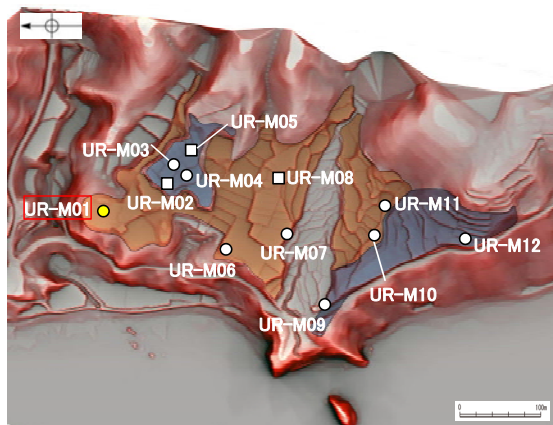
Cum:積数

火山灰分析結果

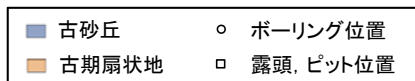
生神中部 UR-M01(コア写真・柱状図・火山灰分析結果)



地形面区分図(服部ほか, 2014を編集)



地形面区分図(服部ほか(2014)を編集)
(基図は1961年の空中写真から作成)



深度(m) UR-M01(孔口標高39.91m, 掘進長9m, 鉛直) 深度(m)

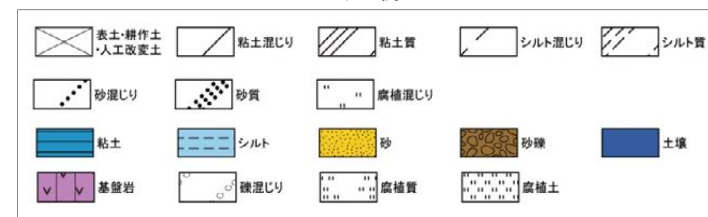


コア写真(深度0~9m)



柱状図

凡例



| 試料番号 | テフラ名 | 火山ガラスの形態別含有量 (/3000粒子) | 重鉱物の含有量 (/3000粒子) | | | β石英 (/3000粒子) | 備考 | 火山ガラスの屈折率 (nd) | |
|-----------|--------|------------------------|-------------------|-----|-----|---------------|----|----------------|-------|
| | | | Opx | GHo | Cum | | | 1.500 | 1.510 |
| 0.00-0.08 | | | | | | | | | |
| 0.08-0.20 | AT | | | | | | | | |
| 0.20-0.30 | | | | | | | | | |
| 0.30-0.40 | | | | | | | | | |
| 0.40-0.54 | | | | | | | | | |
| 0.54-0.60 | K-Tz混在 | | | | | | | | |
| 0.60-0.70 | | | | | | | | | |
| 0.70-0.80 | | | | | | | | | |
| 0.80-0.90 | | | | | | | | | |
| 0.90-1.00 | | | | | | | | | |
| 1.00-1.10 | | | | | | | | | |
| 1.10-1.23 | | | | | | | | | |
| 1.23-1.30 | | | | | | | | | |
| 1.30-1.45 | | | | | | | | | |

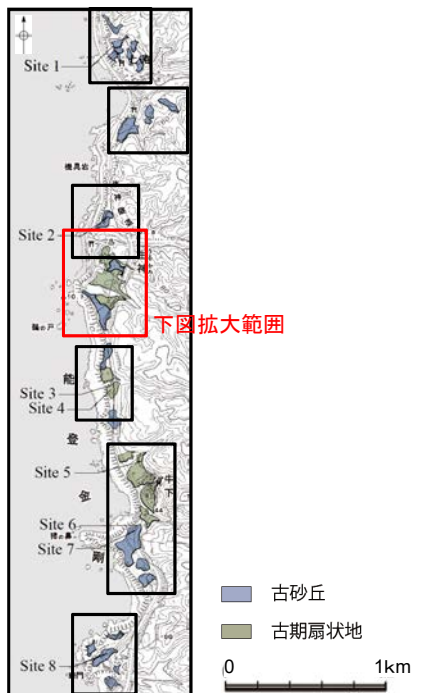
■ バブルウォール(Bw)タイプ

Opx:斜方輝石
GHo:緑色普通角閃石
Cum:カモントン閃石

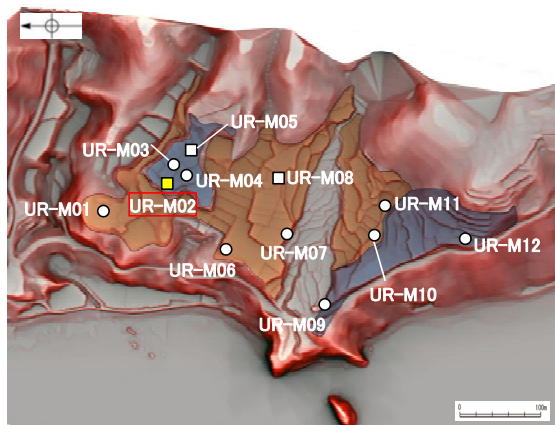
Count値

火山灰分析結果

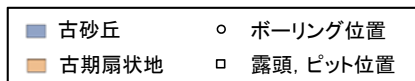
生神中部 UR-M02(ピット写真・柱状図)



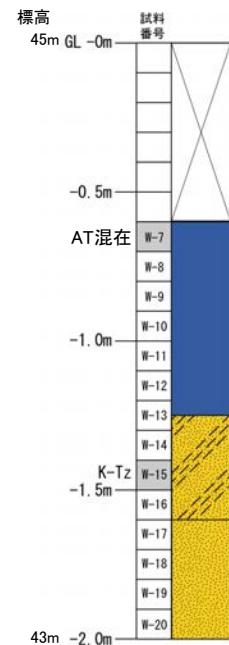
地形面区分図(服部ほか, 2014を編集)



地形面区分図(服部ほか(2014)を編集)
(基図は1961年の空中写真から作成)



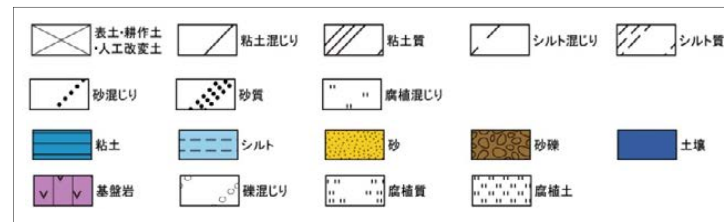
ピット写真(UR-M02)



- (1) 砂質シルト層 (表土・耕作土)
灰黄色(10YR4/2)を呈する。莖の根混じり。指圧で容易に変形する程度。
0~-0.20m
- (2) 砂混じり粘土層 (耕作土)
褐色(10YR5/1)を呈する。硬質である。指圧で変形しない。酸化したくさり礫や炭化物が点在する。垂直方向に割れ目があり、酸化している(植物の根沿いの酸化)。まれに径10~40mmの円礫(安山岩)を含む。下位層との境界は明瞭(色調)。
-0.20~-0.60m
- (3) シルト層 (明褐色土壌)
明褐色(7.5YR5/8)を呈する。硬質である。指圧で変形しない。褐灰色部と明褐色部が斑状に混在する。垂直礫状の土壤構造が見られる。下位層とは漸移する。
-0.60~-0.75m
- (4) 砂混じりシルト層 (赤褐色土壌)
明赤褐~赤褐(5YR5/8~5YR4/8)を呈する。硬質である。指圧で変形しない。下部ほど砂分を多く含む。上部は褐灰色部が斑状に混在する。垂直礫状に土壤構造が見られる。下位層との境界は不明瞭。
-0.75~-1.25m
- (5) シルト混じり砂層
黄褐色(10YR5/6)を呈する。よく締まっている。指圧で変形しない。細粒砂(無層理)。上部ほど細粒分が多く赤褐色味を帯びる。径2~20mmの不定形な白色粒(粘土状)が点在する。S面では鉛直方向の粘土脈が見られる(根茎に沿った粘土)。
-1.25~-1.60m
- (6) 細粒砂層
明黄褐色(10YR6/8)を呈する。淘汰の良い細粒砂。良く締まっている。指圧で変形しない。無層理である。
-1.60~-2.00m

柱状図

凡例



生神中部 UR-M02(火山灰分析結果)

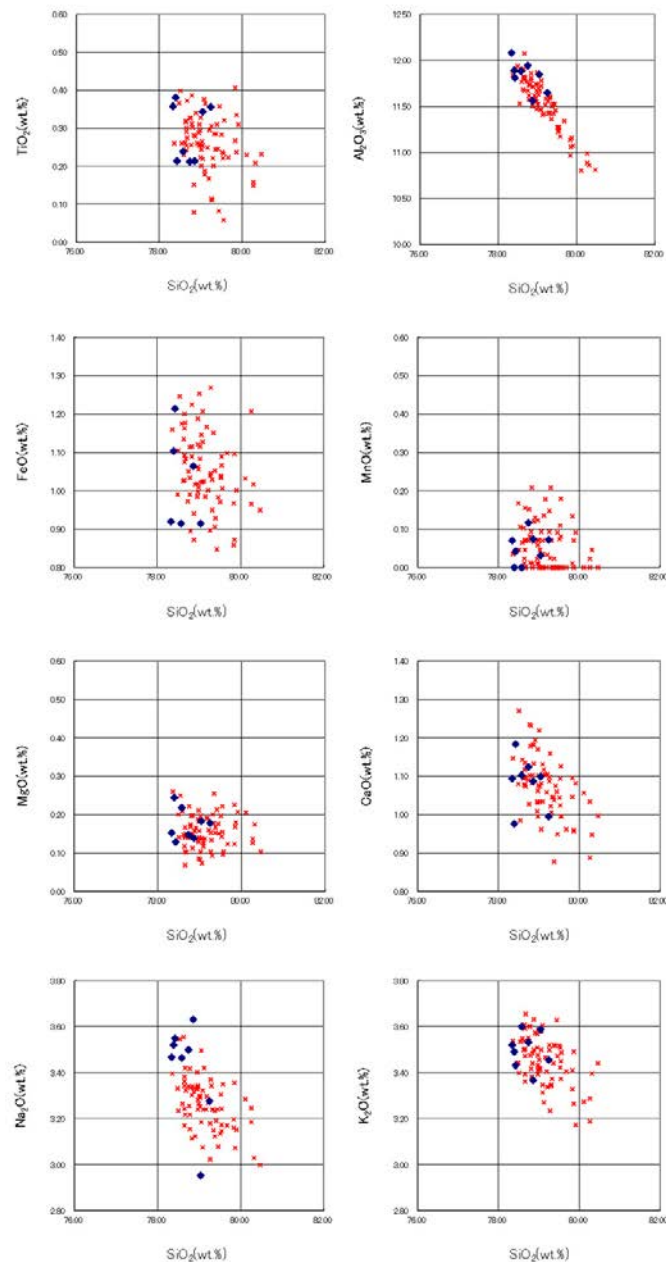
| 試料番号 | テフラ名 | 火山ガラスの 形態別含有量 (/3000粒子) 100 200 300 | 重鉱物の含有量 (/3000粒子) | | | β 石英 (/3000粒子) 1 2 | 備考 | 火山ガラスの屈折率 (nd) | |
|------|------|--|----------------------|-----|-----|--------------------------|----|----------------|-------|
| | | | Opx | GHo | Cum | | | 1.500 | 1.510 |
| W-7 | AT混在 | ■ | | | | | | | |
| W-8 | | | | | | | | | |
| W-9 | | | | | | | | | |
| W-10 | | | | | | | | | |
| W-11 | | | | | | | | | |
| W-12 | | | | | | | | | |
| W-13 | | | | | | | | | |
| W-14 | | | | | | | | | |
| W-15 | K-Tz | | | | | | | | |
| W-16 | | | | | | | | | |
| W-17 | | | | | | | | | |
| W-18 | | | | | | | | | |
| W-19 | | | | | | | | | |
| W-20 | | | | | | | | | |

■ バブルウォール(Bw)タイプ

Opx: 斜方輝石
GHo: 緑色普通角閃石
Cum: カミングトン閃石



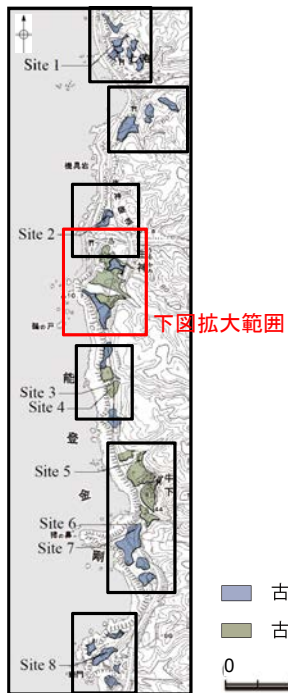
火山灰分析結果



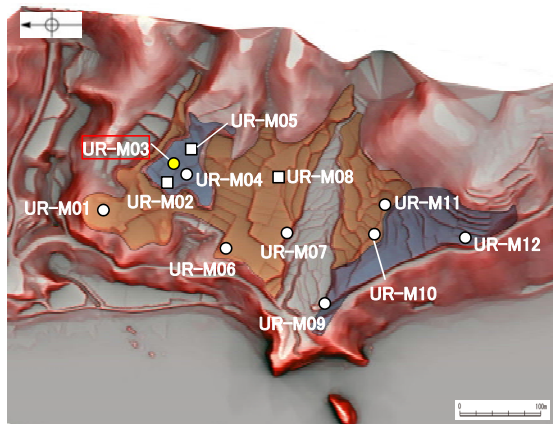
◆ 試料番号W-15におけるK-Tzに含まれるβ石英中のガラス包有物の主成分
* 古澤・中村(2009)におけるK-Tzに含まれるβ石英中のガラス包有物の主成分

火山ガラスの主成分分析結果: 試料番号W-15

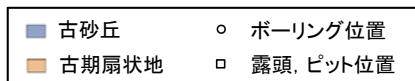
生神中部 UR-M03(コア写真・柱状図)



地形面区分図(服部ほか, 2014を編集)



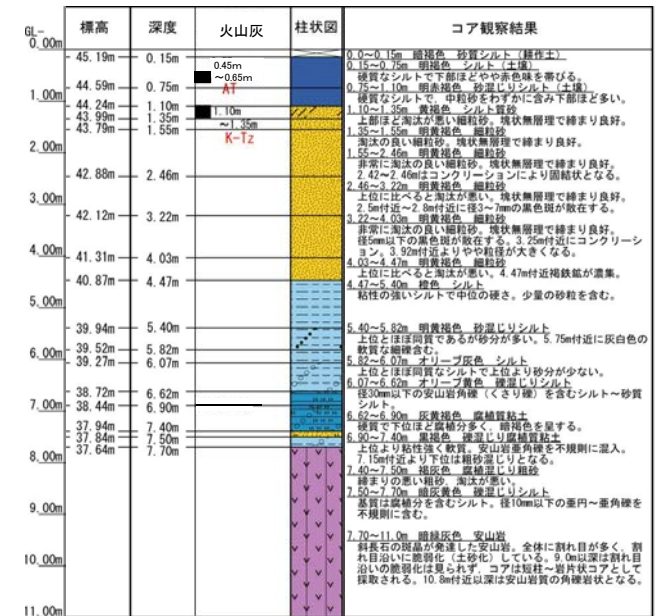
地形面区分図(服部ほか(2014)を編集)
(基図は1961年の空中写真から作成)



UR-M03(孔口標高45.34m, 掘進長11m, 鉛直)

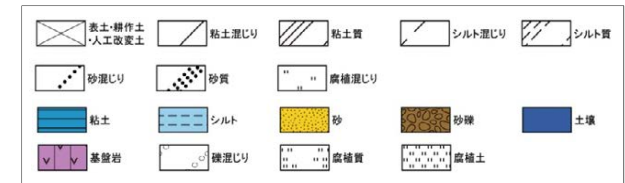


コア写真(深度0~11m)

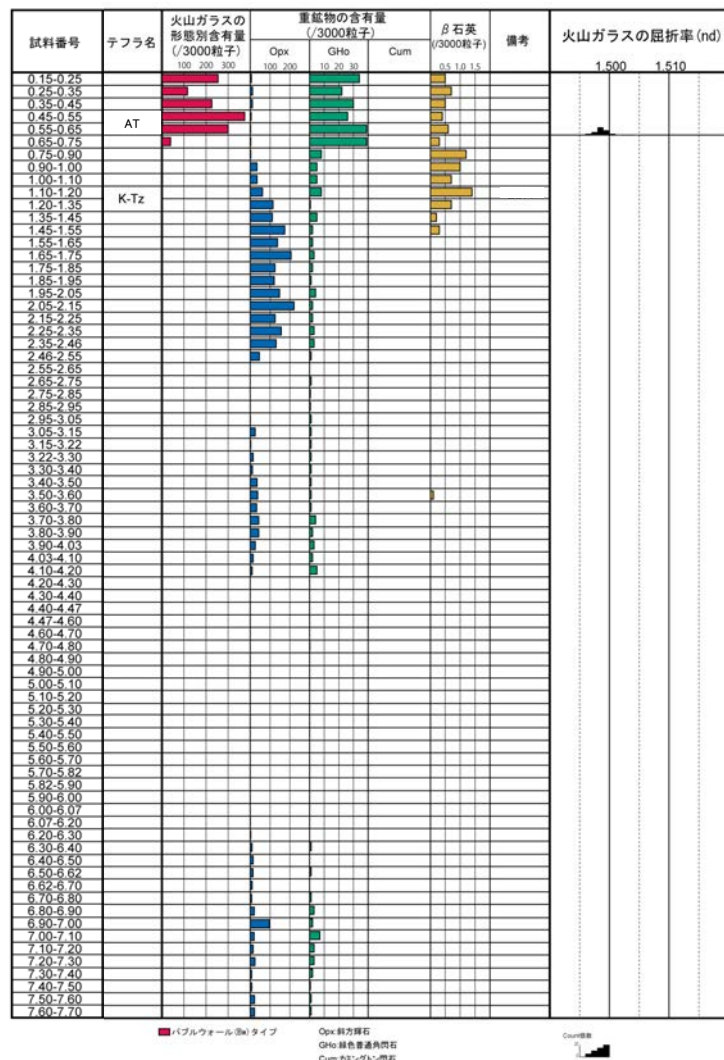


柱状図

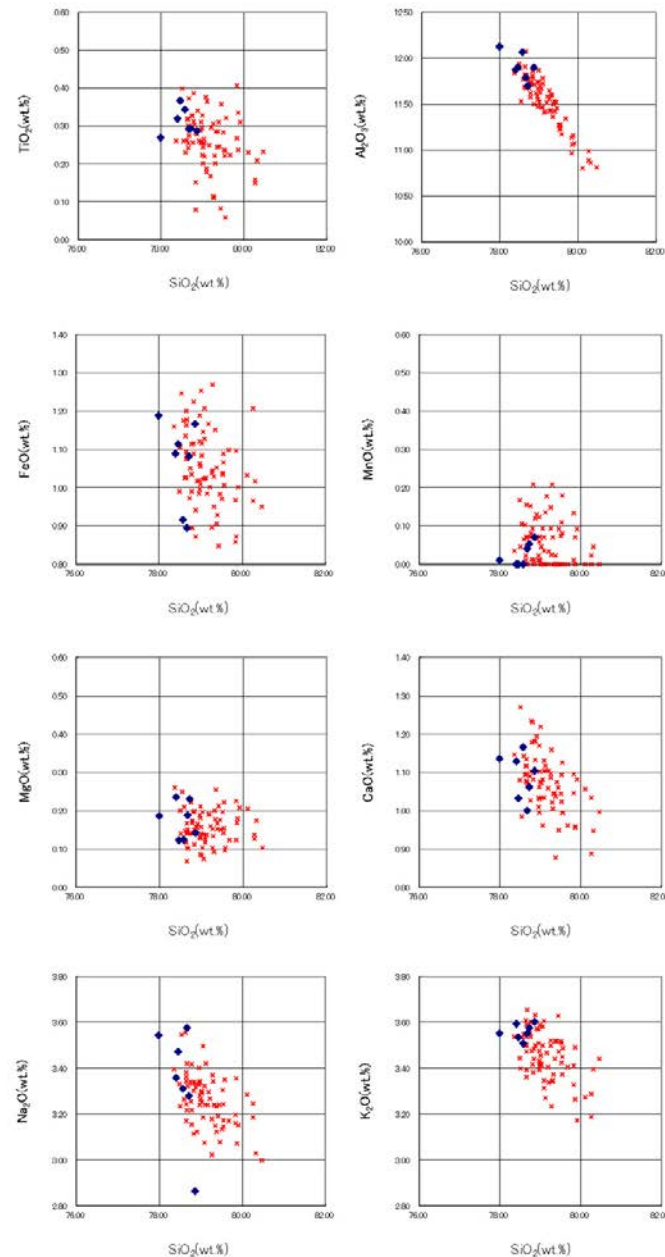
凡例



生神中部 UR-M03(火山灰分析結果)



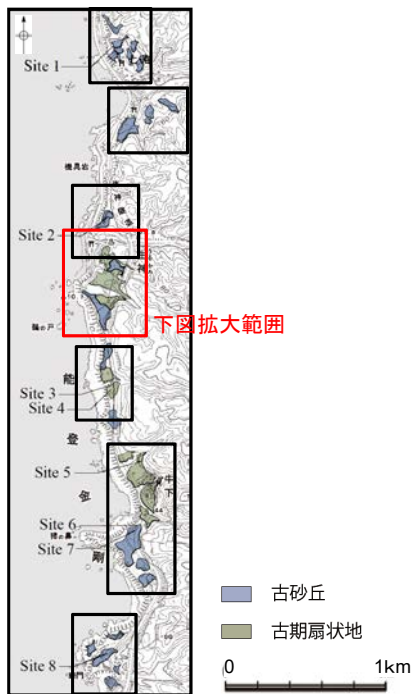
火山灰分析結果



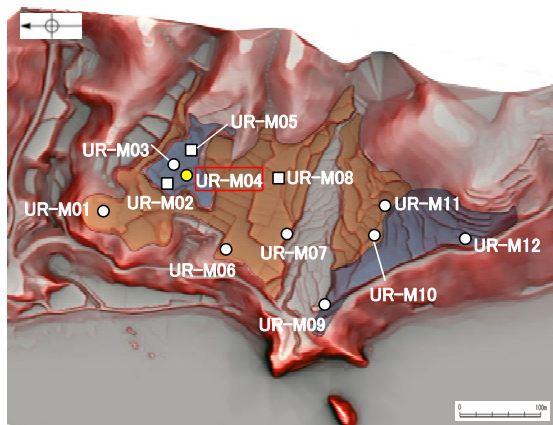
- ◆ 試料番号1.10-1.20におけるK-Tzに含まれるβ石英中のガラス包有物の主成分
- * 古澤・中村(2009)におけるK-Tzに含まれるβ石英中のガラス包有物の主成分

火山ガラスの主成分分析結果: 試料番号1.10-1.20

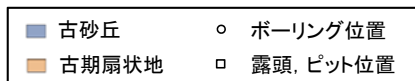
生神中部 UR-M04(コア写真・柱状図)



地形面区分図(服部ほか, 2014を編集)



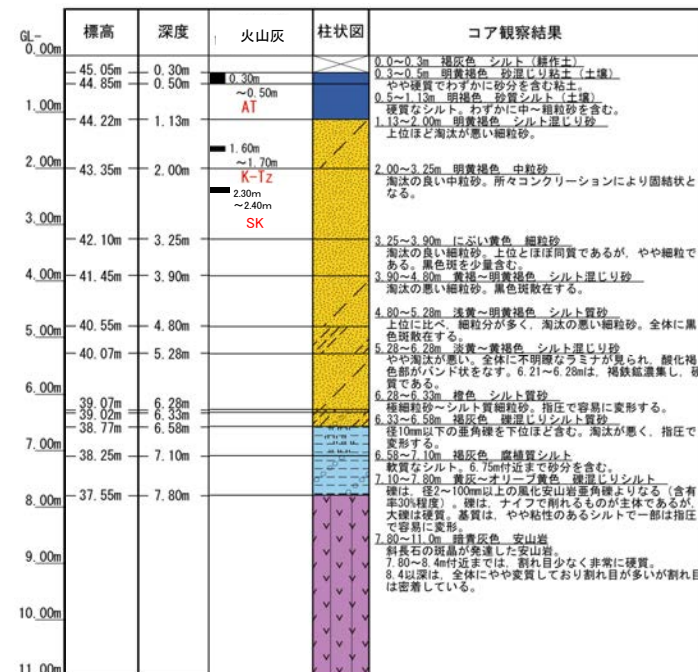
地形面区分図(服部ほか(2014)を編集)
(基図は1961年の空中写真から作成)



深度(m) UR-M04(孔口標高45.35m, 掘進長11m, 鉛直) 深度(m)



コア写真(深度0~11m)



柱状図

凡例

